



**INVENTARIO
NACIONAL
DE GLACIARES**

IANIGLA
CONICET

U. N. CUYO
GOBIERNO
DE MENDOZA



Ministerio de Ambiente
y Desarrollo Sustentable
Presidencia de la Nación

**Informe de las subcuencas de los
ríos Vipos, Lules, Balderrama,
Gastona y Medinas
Cuenca del río Salí-Dulce**

**Provincias de Tucumán,
Catamarca y Salta**

Sierra del Aconquija. Provincia de Tucumán (Foto: M. Castro)

**MINISTERIO DE AMBIENTE Y DESARROLLO SUSTENTABLE
PRESIDENCIA DE LA NACIÓN**

**Autoridad Nacional de Aplicación – Ley 26.639 – Régimen de Presupuestos
Mínimos para la Preservación de los Glaciares y del Ambiente Periglacial**

Presidente de la Nación: Ing. Mauricio Macri

Ministro de Ambiente y Desarrollo Sustentable: Rabino Sergio Bergman

Unidad de Coordinación General: Dra. Patricia Holzman

Secretario de Política Ambiental en Recursos Naturales: Lic. Diego Moreno

Director Nacional de Gestión Ambiental del Agua y los Ecosistemas Acuáticos: Dr. Javier García Espil

Coordinador de Gestión Ambiental del Agua: Dr. Leandro García Silva

Responsable Programa Protección de Glaciares y Ambiente Periglacial: M.Sc. María Laila Jover

IANIGLA – CONICET

Inventario Nacional de Glaciares (ING)

Director del IANIGLA: Dr. Fidel Roig

Coordinador del ING: Ing. Gustavo Costa

Director técnico: Lic. Laura Zalazar

Profesionales: Téc. Mariano Castro

Colaboradores: Dr. Mariano Masiokas, Téc. Cristian Sancho y Lic. Lidia Ferri Hidalgo

Mayo 2018

La presente publicación se ajusta a la cartografía oficial establecida por el Poder Ejecutivo Nacional a través del Instituto Geográfico Nacional por Ley 22963 y ha sido aprobada por Expte. EX – 2017 – 35435428 – APN – DGA#IGN, de fecha 22 de enero de 2018

Foto de portada: Cuenca del río Salí Dulce desde la Sierra del Aconquija. Provincia de Tucumán (Foto: M. Castro)

ÍNDICE

1. Introducción	1
2. Antecedentes	5
3. Definiciones a los fines del Inventario	8
4. Materiales y métodos	10
4.1. Delimitación de cuencas hidrográficas a partir de modelos digitales de elevación ..	11
4.2. Selección de imágenes satelitales y georreferenciación	11
4.3. Delimitación del hielo descubierto	14
4.4. Digitalización de glaciares cubiertos y glaciares de escombros.....	14
4.5. Base de datos de las geoformas inventariadas.....	14
4.6. Control de campo.....	16
5. Resultados	17
5.1. Cuenca del río Salí-Dulce.....	17
5.2. Control de campo	21
6. Bibliografía.....	22
7. Anexos.....	28
7.1. Imágenes utilizadas en el inventario de la cuenca del río Salí-Dulce	28
7.2. Control de campo en la subcuenca del río Salí Dulce.....	30
7.2.1 Objetivos	30
7.2.2. Resultados de las geoformas relevadas en terreno	31
7.3. Descripción de la base de datos.....	42

ÍNDICE DE FIGURAS

Figura 1: Campaña de validación del inventario de glaciares en el Nevado de Catreal, provincia de Catamarca. 2013 (Foto: M. Castro).....	5
Figura 2: Fotografía aérea de la región del Nevado de Catreal. Ahumada 2010.	7
Figura 3: Subcuencas del río Salí-Dulce, donde se realizó el Inventario de Glaciares.....	10
Figura 4: Diagrama de flujo de la metodología usada.	13
Figura 5: Ejemplo de la importancia de la resolución espacial de las imágenes en la identificación de crioformas.....	14
Figura 6: Ejemplo de una unidad vista en una escena SPOT sin digitalizar (izquierda) y con los polígonos que la componen digitalizados (derecha).....	16
Figura 7: Mapa del inventario de la cuenca del río Salí-Dulce.	18
Figura 8: Distribución de los cuerpos de hielo inventariados, cuenca del río Salí-Dulce.....	19
Figura 9: Orientación de los cuerpos de hielo inventariados en la cuenca del río Salí-Dulce.	19
Figura 10: Número de unidades y superficie cubierta por los cuerpos de hielo inventariados en la cuenca del río Salí-Dulce.	20
Figura 11: Hipsometría de los cuerpos de hielo, cuenca del río Salí-Dulce.	20

ÍNDICE DE TABLAS

Tabla 1: Imágenes utilizadas como base para el Inventario de la cuenca del río Salí-Dulce (ver anexo 7.1. para mayor información).	11
Tabla 2: Superficie total de glaciares inventariados en la cuenca del río Salí-Dulce.	17
Tabla 3: Alturas por tipos de glaciares en la cuenca del río Salí-Dulce.....	21

LISTA DE ABREVIATURAS Y SIGLAS

ALOS: Advanced Land Observing Satellite

ASTER: Advanced Spaceborne Thermal Emission and Reflection Radiometer

CBERS: China Brazil Earth Resources Satellite

ENVI: Environment for Visualizing Images

GC: Glaciar cubierto

GCGE: Glaciar cubierto con glaciar de escombros

GD: Glaciar descubierto

GDEM: Global Digital Elevation Map

GEA: Glaciar de escombros activo

GE: Glaciar de escombros

GEF: Glaciar de escombros fósil

GEI: Glaciar de escombros inactivo

Gl: Glaciar

GLIMS: Global Land Ice Measurements from Space

H media: Altura media

IANIGLA: Instituto Argentino de Nivología Glaciología y Ciencias Ambientales

ID: Código Identificador

ING: Inventario Nacional de Glaciares

INPE: Instituto Nacional de Pesquisas Espaciais

LANDSAT: LAND=tierra y SAT=satélite

Lat: Latitud

Long: Longitud

MDE: Modelo Digital de Elevación

MN: Manchón de nieve

PRISM: Pancromático Remoto con Sensor de Instrumento para Stereo Mapping

SAGA: System for Automated Geoscientific Analyses

SPRING: Sistema de Procesamiento de Información Georreferenciada

SRTM: Shuttle Radar Topography Mission

SSRH: Subsecretaría de Recursos Hídricos

UTM: Universal Transverse Mercator

WGMS: World Glacier Monitoring Service

1. Introducción

Argentina es uno de los pocos países del mundo que cuenta con varios miles de kilómetros cuadrados de glaciares y permafrost de montaña rico en hielo en su territorio. Según cálculos aproximados, Sudamérica tendría cerca de 25.500 km² cubiertos por glaciares, con un 15% del área total ubicada en Argentina (Williams y Ferrigno 1999; WGMS-UNEP 2007). Nuestro país ocupa el segundo lugar después de Chile, que contiene el 75% del área total de glaciares sudamericanos. Estos porcentajes colocan tanto a Chile como a la Argentina en una posición privilegiada con respecto a otros países, pero también les otorgan un mayor grado de responsabilidad para el estudio, monitoreo y protección de los glaciares en esta región del planeta. Sin embargo, a pesar de la gran extensión de hielo que existe en nuestro país y su clara importancia socio-económica, geopolítica, ambiental y científico-académica, el conocimiento actual sobre los glaciares y el ambiente periglacial en la Argentina es muy limitado. Si bien en las últimas décadas se ha avanzado significativamente en el estudio de nuestros cuerpos de hielo, aún hoy sólo un puñado de sitios han sido analizados en detalle, y en la actualidad no existe información sobre la ubicación, área total, significancia hidrológica o la historia reciente de los glaciares y geofomas periglaciales (también llamadas crioformas) a lo largo de vastas porciones de la Cordillera de los Andes.

Entre otros atributos, los cuerpos de hielo constituyen componentes cruciales del sistema hidrológico de montaña y son reconocidos como “reservas estratégicas” de agua para las zonas bajas adyacentes y gran parte de la diagonal árida del país. Si bien la nieve que se acumula cada invierno en la Cordillera de los Andes constituye la principal fuente de agua para los ríos del oeste argentino, en años “secos” o con baja precipitación nival, los glaciares y partes que se descongelan de las crioformas tienen una contribución muy importante al caudal de los ríos andinos ya que aportan volúmenes significativos de agua de deshielo a la esorrentía ayudando a minimizar los impactos de las sequías en las actividades socio-económicas de los oasis de regadío. Por ello, la información detallada sobre el número, área y distribución espacial de los cuerpos de hielo no sólo brinda una estimación de las reservas hídricas en estado sólido existentes en las diferentes cuencas andinas, sino también información básica para conocer la capacidad reguladora de dichos cuerpos sobre los caudales de nuestros ríos en condiciones climáticas extremas.

Los glaciares de Argentina constituyen además elementos emblemáticos del paisaje andino, realzando la belleza de los principales atractivos turísticos y generando ingresos significativos para la economía nacional. El ejemplo más claro lo constituye el glaciar Perito Moreno, en el Parque Nacional Los Glaciares, provincia de Santa Cruz, que atrae a cientos de miles de turistas cada año. Los glaciares que rodean a la localidad de El Chaltén (glaciar Torre, Piedras Blancas, y de los Tres, entre otros) también constituyen importantes atractivos turísticos dentro del mismo Parque Nacional, y realzan las imponentes vistas del cerro Torre y Monte Fitz Roy o Chaltén. Otros glaciares muy visitados son los glaciares del Monte Tronador en el Parque Nacional Nahuel Huapi, provincia de Río Negro. El más conocido es tal vez el Ventisquero Negro, un glaciar cubierto por detritos al cual se puede acceder en vehículo

durante todo el año. En la provincia de Mendoza, los glaciares colgantes de la pared sur del Cerro Aconcagua y los glaciares Horcones Superior, Horcones Inferior, y de los Polacos son los glaciares más conocidos. Miles de visitantes llegan cada año al Parque Provincial Aconcagua para escalar o simplemente admirar estas imponentes moles de roca y hielo.

Los cuerpos de hielo cordilleranos también constituyen excelentes laboratorios naturales para estudios científicos. Además de muchos estudios de índole hidrológica y geológica que pueden desarrollarse utilizando estos laboratorios naturales, los glaciares ocupan un lugar destacado a nivel mundial como indicadores de cambios climáticos pasados y presentes. En efecto, el rápido retroceso de los glaciares en los Andes y otras regiones montañosas del mundo es generalmente considerado como uno de los signos más claros del calentamiento que ha experimentado el planeta en las últimas décadas.

Por otra parte, los cambios relativamente rápidos en los cuerpos de hielo pueden ocasionar eventos potencialmente catastróficos para las poblaciones humanas e infraestructura ubicadas aguas abajo. En la provincia de Mendoza, el evento más conocido ocurrió entre 1933 y 1934 cuando el Glaciar Grande del Nevado del Plomo (ubicado en la subcuenca del río Tupungato) avanzó repentinamente y atravesó el valle del río del Plomo provocando el endicamiento del río y la formación de un lago de aproximadamente 3 km de largo. El 10 de enero de 1934 la presión del agua rompió el dique natural de hielo y originó un aluvión de agua, hielo y rocas que se desplazó por el valle del río del Plomo y continuó por los valles de los ríos Tupungato y Mendoza provocando graves destrozos (el famoso Hotel Cacheuta, por ejemplo, quedó completamente destruido) e incluso víctimas fatales. En 1984 el glaciar avanzó nuevamente y formó un lago de 2,8 km de longitud que afortunadamente drenó en forma gradual a través de una abertura formada en el dique de hielo. En 2007 el mismo glaciar experimentó un nuevo avance que atravesó el valle del río del Plomo pero no formó ningún lago debido a la presencia de un túnel subglacial.

Considerando los servicios ambientales que nos brindan, su alto grado de vulnerabilidad y los riesgos asociados a sus variaciones, los glaciares y geoformas periglaciales son generalmente concebidos como elementos muy valiosos del paisaje que deben ser estudiados, monitoreados y protegidos para poder conocerlos y preservarlos.

Dada la importancia que tienen los glaciares y las crioformas ricas en hielo para nuestro país, resulta imperioso desarrollar planes y estrategias de estudio y monitoreo de estas masas de hielo que permitan responder a preguntas básicas pero extremadamente relevantes como: ¿Cuántos cuerpos de hielo hay en nuestro país? ¿Qué volumen equivalente en agua tienen? ¿Qué cantidad de agua están aportando a las cuencas de nuestros ríos? ¿Qué cambios han experimentado en el pasado y qué podría esperarse en respuesta a los distintos escenarios de cambios climáticos propuestos para el siglo XXI? ¿Cómo se verán alterados por las distintas actividades humanas que se desarrollen en sus cercanías?

Conscientes de la importancia nacional y regional de los cuerpos de hielo en nuestra Cordillera, entre junio y octubre de 2010 las Honorables Cámaras de Diputados y Senadores de Argentina convirtieron en Ley un Proyecto de “Presupuestos Mínimos para la Preservación de los Glaciares y el Ambiente Periglacial”, que contempla entre otras medidas, la creación de

un Inventario Nacional de Glaciares. El 28 de Octubre de 2010 fue promulgada la Ley 26.639 de “Presupuestos Mínimos para la Preservación de los Glaciares y del Ambiente Periglacial”, la cual establece:

*ARTÍCULO 1° — Objeto. La presente ley establece los presupuestos mínimos para la protección de los glaciares y del ambiente periglacial con el objeto de preservarlos como **reservas estratégicas de recursos hídricos** para el consumo humano; para la agricultura y como proveedores de agua para la recarga de cuencas hidrográficas; para la protección de la biodiversidad; como fuente de información científica y como atractivo turístico. Los glaciares constituyen bienes de carácter público.*

ARTÍCULO 2° — Definición. A los efectos de la presente ley, se entiende por glaciar toda masa de hielo perenne estable o que fluye lentamente, con o sin agua intersticial, formado por la recristalización de nieve, ubicado en diferentes ecosistemas, cualquiera sea su forma, dimensión y estado de conservación. Son parte constituyente de cada glaciar el material detrítico rocoso y los cursos internos y superficiales de agua.

Asimismo, se entiende por ambiente periglacial en la alta montaña, al área con suelos congelados que actúa como regulador del recurso hídrico. En la media y baja montaña al área que funciona como regulador de recursos hídricos con suelos saturados en hielo.

*ARTÍCULO 3° — Inventario. Créase el Inventario Nacional de Glaciares, donde se **individualizarán todos los glaciares y geoformas periglaciares que actúan como reservas hídricas existentes en el territorio nacional** con toda la información necesaria para su adecuada protección, control y monitoreo.*

ARTÍCULO 4° — Información registrada. El Inventario Nacional de Glaciares deberá contener la información de los glaciares y del ambiente periglacial por cuenca hidrográfica, ubicación, superficie y clasificación morfológica de los glaciares y del ambiente periglacial. Este inventario deberá actualizarse con una periodicidad no mayor de CINCO (5) años, verificando los cambios en superficie de los glaciares y del ambiente periglacial, su estado de avance o retroceso y otros factores que sean relevantes para su conservación.

*ARTÍCULO 5° — Realización del Inventario. El inventario y monitoreo del estado de los glaciares y del ambiente periglacial **será realizado y de responsabilidad del Instituto Argentino de Nivología, Glaciología y Ciencias Ambientales (IANIGLA)** con la coordinación de la autoridad nacional de aplicación de la presente ley.*

Se dará intervención al Ministerio de Relaciones Exteriores, Comercio Internacional y Culto cuando se trate de zonas fronterizas pendientes de demarcación del límite internacional previo al registro del inventario.

El IANIGLA por disposición transitoria (Artículo 15) de la Ley 26.639, creó el documento “Inventario Nacional de Glaciares y Ambiente Periglacial: Fundamentos y Cronograma de Ejecución” (IANIGLA, 2010), en donde se desarrolla la estrategia para la realización del Inventario Nacional de Glaciares. La misma cuenta con tres niveles, de menor a mayor detalle de información. El objetivo del nivel 1 es el Inventario Nacional de Glaciares propiamente dicho, es decir la identificación y caracterización de todos los glaciares y crioformas del

ambiente periglacial que actúan como reservas hídricas estratégicas en la República Argentina. El nivel 2 tiene como objetivo conocer la variación temporal de los glaciares y criofomas a lo largo del país. Mientras que el objetivo del nivel 3 es establecer los factores ambientales que regulan el comportamiento y determinar la significancia hidrológica de estos cuerpos de hielo a la esorrentía andina.

En el presente informe se describen los resultados del inventario de las subcuencas de los ríos Vipos, Lules, Balderrama, Gastona y Medinas, pertenecientes a la cuenca del río Salí-Dulce (subcuenca río Salí-Dulce según Anexo 2 del cronograma del inventario, IANIGLA 2010), provincias de Tucumán, Catamarca y Salta. En el mismo se identifican, mapean y caracterizan todos los glaciares, manchones de nieve perennes y glaciares de escombros que actúan como reservas estratégicas de agua en estado sólido, atendiendo a las definiciones de la Ley 26.639, el documento “Inventario Nacional de Glaciares y Ambiente Periglacial; Fundamentos y Cronograma de Ejecución”, y el decreto 207/2011 de reglamentación de la citada Ley.

El trabajo de identificación de glaciares en estas subcuencas fue elaborado en noviembre de 2016 y aprobado según resolución N° RESOL-2018-119-APN-MAD del 16 de febrero de 2018, siguiendo lineamientos internacionales adaptados a condiciones locales y regionales. La metodología utilizada ha sido desarrollada por el IANIGLA (ver sección 4. Materiales y métodos) y sirve de base para el Inventario Nacional de Glaciares en Argentina.

2. Antecedentes

En general, los antecedentes sobre trabajos de inventarios de glaciares constituyen indudablemente un valioso material de base, sin embargo, en la mayoría de los casos se trata de trabajos de carácter regional, parciales, y/o se encuentran desactualizados. Por otra parte, como la mayoría de estos inventarios regionales han empleado vuelos fotogramétricos de las décadas de 1960 y comienzos de 1970, es posible que algunos de los glaciares más pequeños inventariados en esas décadas hayan desaparecido. Asimismo, los frentes de los glaciares han retrocedido desde la Pequeña Edad de Hielo y en las últimas décadas, como ha sido demostrado en varios estudios realizados sobre las fluctuaciones de ciertos glaciares a lo largo de la Cordillera de los Andes (Espizua 1986; Espizua y Maldonado 2007; Espizua y Pitte 2009; Masiokas et al. 2009), produciendo cambios importantes en las áreas cubiertas por los cuerpos de hielo.



Figura 1: Campaña de validación del inventario de glaciares en el Nevado de Catreal, provincia de Catamarca (Foto: M. Castro).

En el noroeste argentino, la criósfera (parte de la corteza terrestre sujeta hasta a temperaturas bajo 0°) está representada, a diferencia de otras regiones en donde existe mayor diversidad de geofomas, por el permafrost de montaña que se manifiesta topo-climáticamente por la presencia de glaciares de escombros y asociación de formas menores generadas por el congelamiento estacional del suelo o congelamiento permanente (permafrost). Este es una condición térmica, se presenta cuando los suelos permanecen congelados por más de dos años (Van Everdingen 2005). El cambio climático y los disturbios antrópicos que alteran el

régimen térmico del suelo, tienen efecto sobre el permafrost en su formación, persistencia, distribución, espesor y temperatura.

Los primeros estudios de permafrost en el noroeste argentino fueron desarrollados por Catalano en 1927, quien describió a los glaciares de escombros como masas rocosas aglomeradas por hielo que fluyen por gravedad a modo de un glaciar utilizando el término de litoglaciares. En general en los trabajos de inventario realizados en el noroeste argentino (Nevados de Acay y Palermo, Sierra de Santa Victoria, Cumbres Calchaquíes, entre otros) han revelado la presencia de este tipo de geformas en pisos altitudinales comprendidos entre los 4.200 msnm y 5.000 msnm (Igarzábal 1983; Schellenberger 1998; Corte et al. 1982; Ahumada et al. 2008a; Ahumada et al. 2008).

En el noroeste argentino los glaciares de escombros, se encuentran ubicados en alturas que van desde los 4.000 a más de 5.000 msnm y están a su vez ligados a una determinada topografía y orientación. Estos son importantes porque producen un importante volumen de agua con menor cantidad de material suspendido si se los compara con los glaciares descubiertos. Su núcleo congelado se encuentra protegido por la capa activa, siendo de esta manera más resistentes en el tiempo a las modificaciones de temperatura (Ahumada 2008).

En la subcuenca de Santa María trabajos anteriores se organizaron enfocándose en los dos sectores montañosos principales: La Sierra del Aconquija y el Nevado de Catreal. En la Sierra del Aconquija se delimitaron pisos altitudinales de procesos periglaciales en la subcuenca del río Los Reales, definiendo dos niveles altitudinales de procesos periglaciales. En 2005 se realiza el primer inventario de glaciares en la Sierra del Aconquija (Ahumada et al. 2005 a y b), indicando el límite más bajo de actividad a 4.000 msnm en su ladera oriental que pertenece a la cuenca del río Salí-Dulce.

En 2006, Ahumada e Ibáñez Palacios delimitan dos regiones altitudinales de acción periglacial (comprendida dentro del Parque Nacional Campo de los Alisos en el sector oriental) en la que señalan un nivel inferior de entre 2.000 y 4.000 msnm con congelamiento estacional, y un nivel superior que va desde los 4.000 y a más de 5.000 msnm con congelamiento permanente. Es también en este último piso altitudinal en donde se identificaron los glaciares de escombros en la vertiente occidental de la Sierra del Aconquija (subcuenca del río Santa María).

A partir de la interpretación de imágenes Landsat TM y fotografías aéreas, trabajos anteriores obtuvieron como resultado en la cabecera de los ríos en la Sierra del Aconquija una superficie cubierta por glaciares de escombros y glaciares cubiertos de detrito de 2,01 km² (Ahumada et al. 2005, Ahumada et al. 2011, Ahumada et al. 2013).

En el Nevado de Catreal, el otro gran sector con cuerpos de hielo perteneciente a la subcuenca del río Santa María, Ahumada en 2010 (Figura 2) determinó áreas con glaciares de escombros clasificándolos de acuerdo a su origen, forma y actividad. Además fue descripta la exposición de los frentes de los glaciares de escombros activos en donde se obtuvo una predominancia hacia el SE, SO y S. Altitudinalmente este tipo de geformas fueron descritas como activas a

partir de los 4.254 msnm estableciendo de esta forma el nivel inferior del permafrost discontinuo en el Nevado de Catreal.

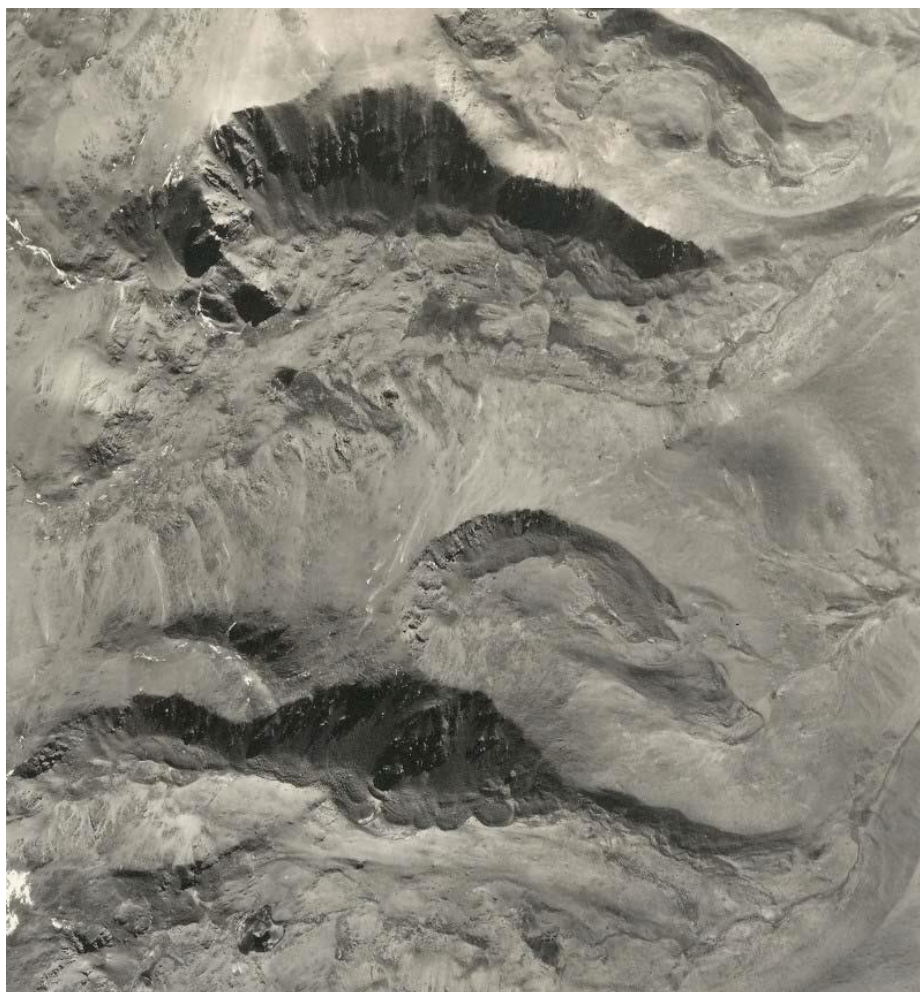


Figura 2: Fotografía aérea de la región del Nevado de Catreal. Ahumada 2010.

3. Definiciones a los fines del Inventario

A los fines específicos y operativos del Inventario Nacional de Glaciares, el IANIGLA propuso en el documento: “**Inventario Nacional de Glaciares y Ambiente Periglacial: Fundamentos y Cronograma de Ejecución**”, (http://www.glaciaresargentinos.gob.ar/wp-content/uploads/legales/fundamentos_cronograma_ejecucion.pdf IANIGLA 2010) definiciones específicas y un tamaño mínimo de los cuerpos de hielo a inventariar dentro del ambiente glacial y periglacial de Argentina. El objetivo de estas definiciones es aclarar las características básicas de los diferentes cuerpos identificados en las imágenes satelitales y los procesos que las originan, para que puedan ser reconocidos por los operadores sin lugar a ambigüedades. Estos criterios han sido empleados en el inventario de la cuenca del río Salí-Dulce aquí presentado.

En el territorio de la República Argentina podemos agrupar a las reservas hídricas estratégicas en estado sólido en dos grandes grupos: glaciares (descubiertos y cubiertos) y glaciares de escombros. Estos grandes grupos contienen, tanto en volumen como en superficie cubierta, las mayores reservas hídricas en estado sólido de la cordillera. No existe en la actualidad información precisa sobre la relevancia hidrológica de otras crioformas presentes en la Cordillera de los Andes, pero se estima que la misma es significativamente inferior comparada con los glaciares (descubiertos y cubiertos) y los glaciares de escombros. Por ello se ha propuesto estudiar, a través de las investigaciones relacionadas con el Nivel 3 del Inventario Nacional de Glaciares, el aporte de los suelos congelados y otras crioformas al caudal de los ríos andinos. En el caso de establecerse que la contribución hidrológica de otras crioformas sea relevante, las mismas serán incluidas en futuros inventarios.

Si bien las definiciones que aquí se presentan son más amplias que otras utilizadas para estudios específicos, las mismas concuerdan por un lado con los lineamientos generales dados por el WGMS (World Glacier Monitoring Service) y la IPA (International Permafrost Association), y además cumplen con la propiedad principal que debe tener un cuerpo de hielo para ser incluido en el Inventario, su condición de reserva de agua en estado sólido. Es respetando estos dos conceptos que se proponen las siguientes definiciones:

Glaciar (descubierto y cubierto): cuerpo de hielo permanente generado sobre la superficie terrestre a partir de la compactación y recristalización de la nieve, con o sin cobertura detrítica significativa, que sea visible por períodos de al menos 2 años, con evidencias de movimiento por gravedad (grietas, ojivas, morenas medias) o no (*) y de un área mayor o igual que 0,01 km² (una hectárea).

(*): Dentro de esta definición de glaciar se incluyen a **los manchones de nieve permanentes / glaciaretas** que como no tienen evidencia de movimiento, en general no se consideran glaciares. Sin embargo, dado que los manchones de nieve permanentes / glaciaretas son reservas significativas de agua en estado sólido, se han incluido en el inventario.

Glaciar de escombros: cuerpo de detrito congelado y hielo, con evidencias de movimiento por acción de la gravedad y deformación plástica del permafrost, cuyo origen está relacionado

con los procesos criogénicos asociados con suelo permanentemente congelado y con hielo subterráneo o con el hielo proveniente de glaciares descubiertos y cubiertos, y de un área mayor o igual que 0,01 km² (una hectárea). Los glaciares de escombros dependen fuertemente del aporte de detritos, nieve y hielo.

Los glaciares de escombros se pueden clasificar por su grado de actividad en *activos, inactivos y fósiles* (Haeberli 1985; Ikeda 2004). Los glaciares de escombros activos presentan frentes abruptos (>35°) con lineamientos de flujo, crestas y surcos longitudinales y transversales bien definidos. Una vez que dejan de moverse se llaman inactivos y aparecen como geoformas colapsadas con menor pendiente en el frente (<35°), también puede aparecer cierta cobertura vegetal. El cuerpo de sedimentos que permanece una vez que el hielo se ha derretido se llama glaciar de escombros fósil (Barsch 1978; Trombotto 2002; Brenning 2005). Esta última categoría no ha sido incluida en el inventario por no tener importancia hidrológica.

Glaciar cubierto con glaciar de escombros: en los Andes Centrales existen numerosos casos en los que un sector de hielo cubierto por detritos se transforma gradualmente en un glaciar de escombros. En general es muy difícil identificar y determinar la posición del límite entre el hielo cubierto (ambiente glaciar) y el glaciar de escombros glaciogénico (ambiente periglacial) en base a sensores remotos, en particular si no se cuenta con información adicional proveniente de estudios detallados de campo. Por ello, en las tareas de inventario se ha utilizado una categoría nueva denominada glaciar cubierto con glaciar de escombros que incluye las porciones de hielo cubierto junto con el glaciar de escombros que se desarrolla a sus costados o en su porción terminal.

Cabe aclarar que en el ambiente periglacial existen numerosas geoformas con hielo en su interior. Sin embargo, los glaciares de escombros al estar sobresaturados en hielo, son los más importantes desde el punto de vista de reserva hídrica (Corte 1976; Schrott 1996; Arenson 2010; Brenning y Azócar 2010; Azócar y Brenning 2010). Es precisamente el alto contenido de hielo el que favorece su desplazamiento pendiente abajo (Haeberli 1985; Barsch 1996). Este movimiento es el que genera los rasgos característicos superficiales (crestas y surcos, crestas laterales) que permiten identificar a los glaciares de escombros en las imágenes satelitales (Haeberli 1985; Trombotto 1991; Barsch 1996; Ikeda y Matsuoka 2002). Por otra parte es importante aclarar que la distribución de hielo dentro de los glaciares de escombros no es homogénea, ya que existen variaciones tanto horizontales como verticales, de allí la importancia de identificar la totalidad del cuerpo (Barsch 1996; Gruber y Haeberli 2009; Arenson y Jakob 2010; Otto et al. 2010).

4. Materiales y métodos

La ejecución del Inventario Nacional de Glaciares sigue las normativas internacionales establecidas por el World Glacier Monitoring Service (WGMS 1967 y posteriores; UNESCO-IAHS 1970; Müller 1977) y su programa World Glacier Inventory (WGI), normativas del Programa Global Land Ice Measurements from Space (GLIMS) (Racoviteanu et al. 2009), la IPA (International Permafrost Association), y directivas empleadas en inventarios previos en los Andes Centrales y Patagónicos (Corte y Espizúa 1981; Delgado et al. 2010).

El presente informe corresponde al Inventario de Glaciares de las subcuencas de los ríos Vipos, Lules, Balderrama, Gastona y Medinas, perteneciente a la cuenca del río Salí-Dulce (Figura 3). Dicha cuenca comprende las provincias de Tucumán, Catamarca y Salta y presenta una superficie de 17.014 km². Los glaciares se encuentran principalmente en la provincia de Tucumán, quedando algunos en la provincia de Catamarca, al suroeste de la cuenca. En la parte norte de la cuenca que se localiza en la provincia de Salta no se han identificado glaciares.

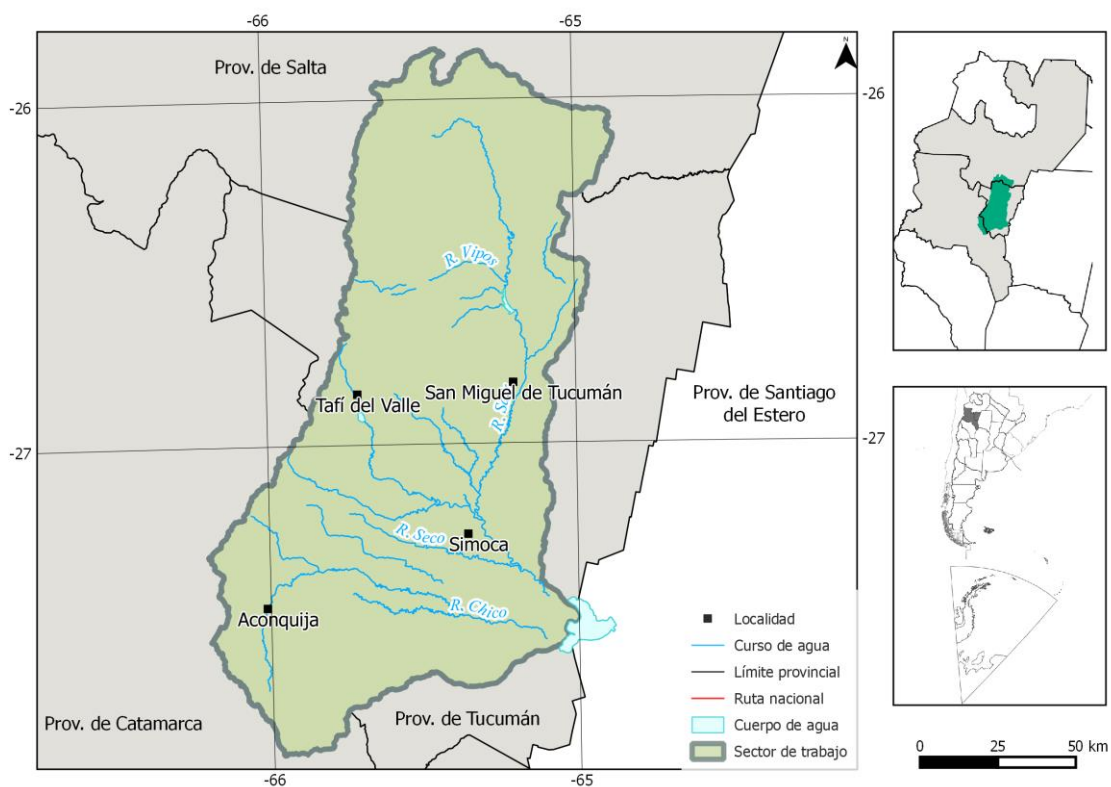


Figura 3: Cuenca del río Salí-Dulce, donde se realizó el Inventario de Glaciares.

4.1. Delimitación de cuencas hidrográficas a partir de modelos digitales de elevación

La delimitación de cuencas hidrográficas en la cuenca del río Salí-Dulce se basó en información proveniente de modelos digitales de elevación (MDE). De los MDE disponibles se decidió trabajar con el SRTM v4 (resolución espacial 90 m), se puede obtener de forma gratuita desde este link <http://srtm.csi.cgiar.org/SELECTION/inputCoord.asp>.

Empleando el programa QGIS (software libre) se delimitaron las subcuencas utilizando como base el SRTM. Los pasos básicos para obtener las cuencas hidrográficas en QGIS consisten en primer lugar en el llenado de sumideros y posteriormente delimitar el tamaño mínimo de la cuenca que viene dado en base al número de celdas que seleccionemos. La cuenca obtenida, fue posteriormente editada y corregida manualmente, en aquellos casos en que no hubo un buen ajuste entre el MDE y la imagen de base. La edición manual de la cuenca fue realizada empleando el programa QGIS¹ (software libre).

4.2. Selección de imágenes satelitales y georreferenciación

Para realizar el inventario de la cuenca del río Salí-Dulce se utilizaron como imágenes de base y como apoyo escenas del satélite SPOT 5/HRG2 (Tabla 1). Además se revisaron imágenes del programa Google Earth y Bing. Las imágenes de mayor resolución espacial, fueron importantes para la detección de hielo cubierto y glaciares de escombros (ver anexo 7.1. donde se adjunta información de todas las imágenes empleadas para la realización de este inventario).

Tabla 1: Imágenes utilizadas como base para el inventario de la cuenca del río Salí-Dulce (ver anexo 7.1. para mayor información).

Satélite/sensor	ID imagen	Fecha
SPOT 5/HRG2	SPOT5_HRG2_2012-06-20_14-23-01_J_678_403	20 junio 2012
SPOT 5/HRG2	SPOT5_HRG2_2012-06-20_14-23-10_J_678_404	20 junio 2012
SPOT 5/HRG2	SPOT5_HRG2_2012-06-20_14-23-18_J_678_405	20 junio 2012

Las imágenes LANDSAT fueron provistas gratuitamente por el USGS/Earth Resources Observation and Science (EROS). Las imágenes SPOT fueron obtenidas a través del Convenio entre Comisión Nacional de Actividades Espaciales (CONAE) y el IANIGLA.

Para la selección de imágenes se siguieron las sugerencias establecidas por GLIMS que tienen en cuenta la disponibilidad de imágenes, la ausencia de nubes y la cobertura de nieve en las

¹ <http://www.qgis.org/es/site/>

mismas. Para minimizar los posibles errores que introduce la cobertura de nieve, que dificulta la delimitación de los cuerpos de hielo, se eligieron casi exclusivamente imágenes correspondientes al final del año de balance de masa (Cogley et al 2011). En el caso de glaciares extratropicales, el final del año de balance de masa coincide con el fin del verano, es decir principios de otoño (Marzo/Abril), mientras que para los glaciares tropicales se aproxima con el final de la temporada seca (fines de agosto y principios de septiembre).

En este trabajo las coordenadas están referidas al sistema de referencia global WGS84, y el sistema de proyección elegido es el UTM (Universal Transversal Mercator). Este sistema de referencia y proyección es utilizado internacionalmente, lo que permitirá comparar los resultados obtenidos en el presente trabajo con información de otros países. Las superficies están expresadas en kilómetros cuadrados y como superficies proyectadas en un plano horizontal, mientras que las altitudes están expresadas en metros sobre el nivel medio del mar (msnm).

Con respecto a la georreferenciación, las imágenes SPOT utilizadas como base para la delimitación de los cuerpos de hielo tienen una muy buena ortorrectificación por lo que la mayoría de las escenas se emplearon sin tener que realizar ningún tipo de corrección. No obstante, en algunas imágenes se corrigieron pequeñas variaciones en la georreferenciación utilizando como base un mosaico compuesto de imágenes LANDSAT 5 TM. Estas imágenes, generadas por el USGS (United States Geological Survey) son internacionalmente aceptadas como base de referencia (Tucker et al. 2004). El procedimiento de georreferenciación se realizó con el programa gvSIG.

En la Figura 4 se puede observar un diagrama de flujo con la metodología general implementada para la realización del Inventario.

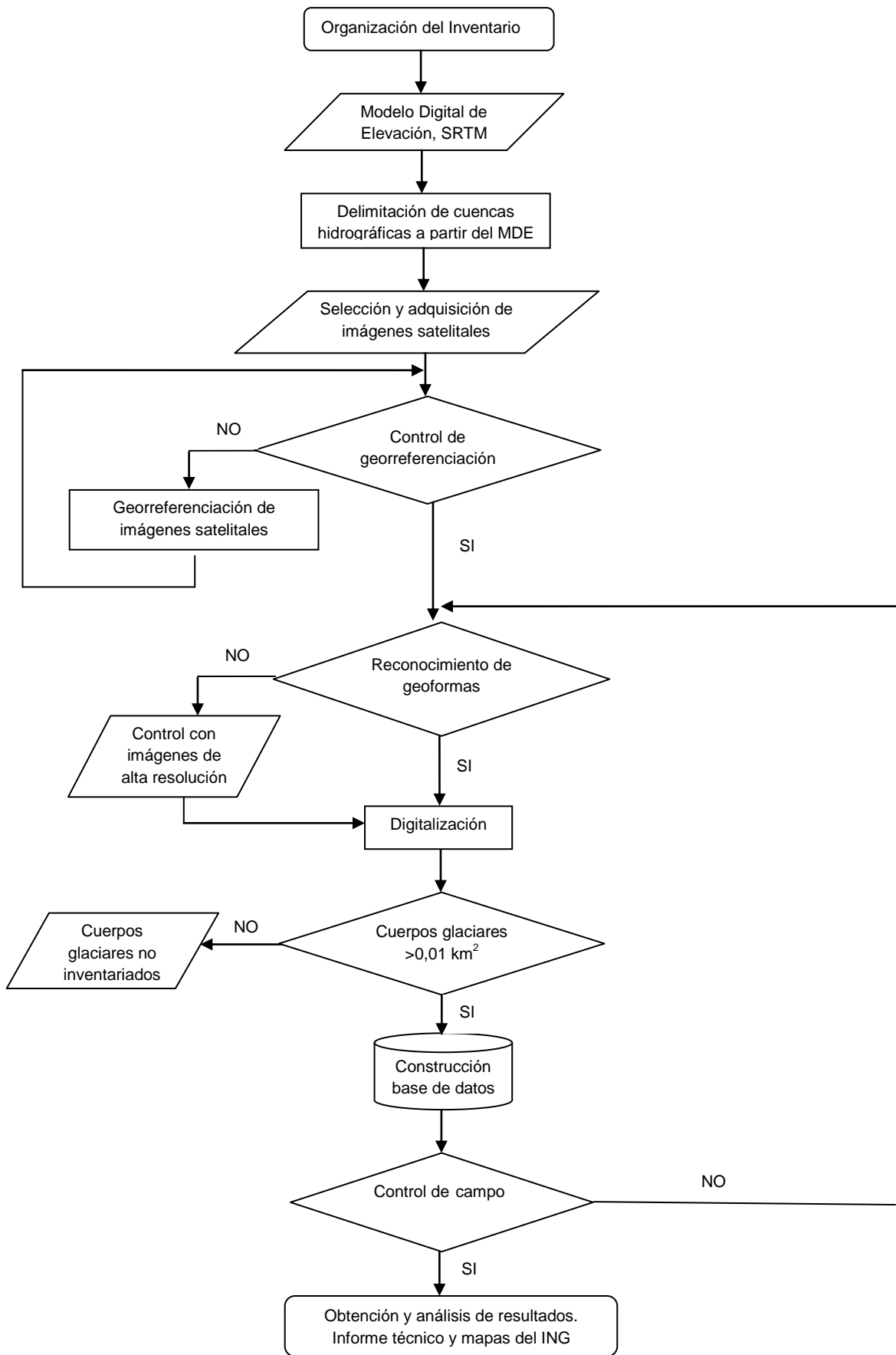


Figura 4: Diagrama de flujo de la metodología usada.

4.3. Delimitación del hielo descubierto

En esta cuenca, tan sólo se ha identificado un manchón de nieve, por lo que no se ha realizado clasificación automática, se digitalizó manualmente esta única geoforma empleando las imágenes de base que figuran en la Tabla 1.

4.4. Digitalización de glaciares cubiertos y glaciares de escombros

En el caso del mapeo de glaciares cubiertos de detrito y glaciares de escombros, la digitalización manual sigue siendo la mejor metodología utilizada a nivel internacional (Stokes et al. 2007). En ese sentido, las imágenes de alta resolución espacial son las herramientas más indicadas para delimitar estos cuerpos de hielo. Para ello, además de las imágenes SPOT5/HRG2 empleadas como base de este inventario, utilizamos, en función de su disponibilidad, imágenes de alta resolución disponibles en Google Earth y Bing (Figura 5). La digitalización fue realizada con el programa QGIS.

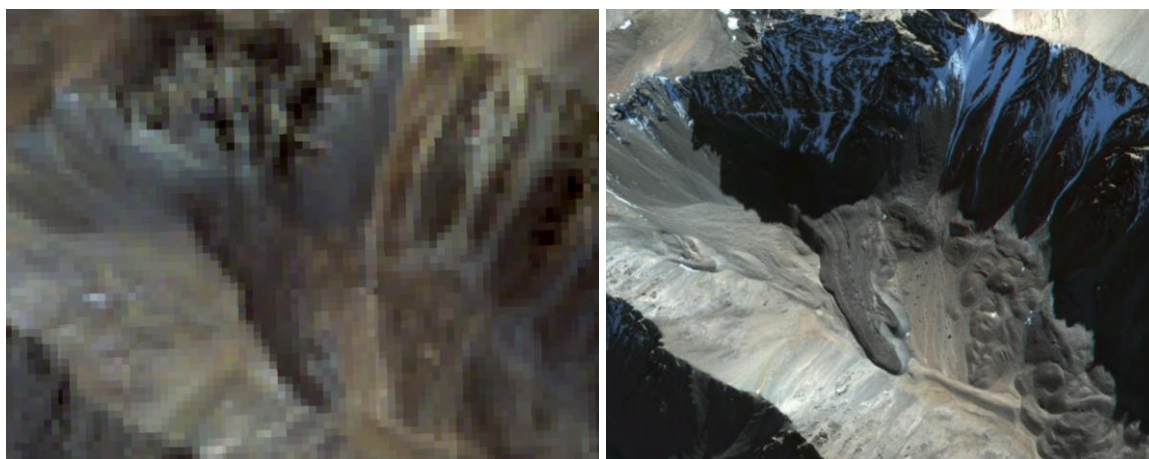


Figura 5: Ejemplo de la importancia de la resolución espacial de las imágenes en la identificación de crioformas. En la parte izquierda pueden observarse varios glaciares de escombros en una imagen Landsat (30 m de resolución espacial). A la derecha pueden observarse las mismas crioformas en una imagen Geoeye de 0,5 m de resolución espacial (imagen de Bing). Se pueden reconocer rasgos típicos de estas geoformas gracias a la mejor resolución espacial de la imagen.

4.5. Base de datos de las geoformas inventariadas

La base de datos del Inventario Nacional de Glaciares de la cuenca del río Salí-Dulce incluye la identificación de cada uno de los glaciares, su clasificación morfológica, y parámetros de índole física tales como el área, altura máxima, media y mínima, orientación, pendiente y largo total (ver Anexo 7.3). La base de datos también se construyó con el programa QGIS.

Para clasificar los glaciares se usaron las normativas internacionales en uso (principalmente del WGMS y GLIMS) con algunas adaptaciones, debido a las particularidades de los cuerpos de hielo presentes mayormente en los Andes Centrales de Argentina. En esta región en particular, los glaciares de escombros representan un recurso hídrico de gran importancia, no obstante se han identificado este tipo de geoformas en las diferentes regiones de los Andes

argentinos. Las clasificaciones internacionales fueron ampliadas para incorporar este tipo de glaciares y sus características.

La clasificación morfológica se basa en la forma y características propias de los cuerpos de hielo. Basándonos en GLIMS las formas primarias son:

0. Incierto
1. Sábana de hielo continental
2. Campo de hielo
3. Calota de hielo
4. De descarga
5. De valle
6. De montaña
7. Glaciarete y/o manchón de nieve permanente
8. Barrera de hielo
9. Glaciar de escombros
10. Corriente de hielo

Más detalles sobre la clasificación de los cuerpos de hielo se encuentran en la página web http://www.glims.org/MapsAndDocs/assets/GLIMS_Glacier-Classification-Manual_V1_2005-02-10.pdf

Según GLIMS un glaciar o masa de hielo perenne identificado por un único ID (código identificador), consiste en un cuerpo de hielo y nieve que se observa al final de la estación de ablación o en el caso de los glaciares tropicales cuando no hay nieve transitoria. Esto incluye como mínimo todos los tributarios y masas de hielo que contribuyen a la alimentación del glaciar principal, además de las partes cubiertas de detrito. Según estos lineamientos quedan excluidos los afloramientos rocosos y nunataks. Ver definición en:

http://www.glims.org/MapsAndDocs/assets/GLIMS_Analysis_Tutorial_a4.pdf.

El código internacional **ID_GLIMS** de un glaciar es generado a partir de las coordenadas geográficas de un punto ubicado en el interior del mismo. Cuando las longitudes corresponden al Oeste, las mismas son convertidas al Este mediante la adición de 360 grados ($-69.232+360 = 290.768$). De esta manera se facilita el acceso de la información del inventario a un nivel internacional de referencia.

Hay que aclarar que en algunos casos las geoformas glaciarias descritas en este informe, pueden estar compuestas por secciones de más de un tipo de glaciar (por ejemplo descubierto, cubierto y de escombros) formando parte de una sola unidad glaciar, con un único ID. Por esta razón el número de glaciares no coincide estrictamente con el número de polígonos de hielo observados en el mapa.

Por tanto, el ID de un glaciar es un código de carácter único que representa a cada uno de los glaciares inventariados. Para ello hemos definido un código **ID_local** (ID de la Figura 6 representado por un círculo rojo) que consiste en las coordenadas geográficas de un punto ubicado en el interior de cada geoforma (similar al ID_GLIMS salvo que en el caso del

ID_local la longitud está referida al Oeste). Las coordenadas son expresadas en grados decimales de longitud Oeste y latitud Sur.

La información de posición de cada geoforma viene dada por un código de cuenca, que provee información sobre la provincia, la cuenca y sub-cuencas donde se encuentra el cuerpo de hielo inventariado.

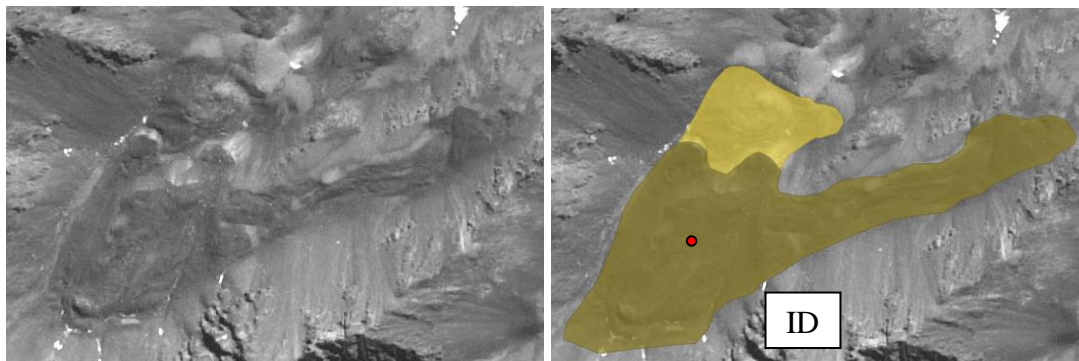


Figura 6: Ejemplo de una unidad vista en una escena SPOT sin digitalizar (izquierda) y con los polígonos que la componen digitalizados (derecha). El punto rojo en el centro de la unidad se utilizó para obtener las coordenadas geográficas de la misma. Ambos polígonos tendrán el mismo código de identificación (ID).

4.6. Control de campo

Los glaciares argentinos se ubican a lo largo de la Cordillera de los Andes, en lugares inaccesibles, a gran altura y en zonas carentes de infraestructura vial, por lo que aun hoy encontramos zonas montañosas inexploradas. Las campañas del nivel 1 del ING tienen como objetivo relevar y documentar la presencia y el estado de glaciares, particularmente de aquellos para los que no existe o se tiene muy poca información. Además de obtener información en forma directa se busca generar un banco fotográfico que servirá para dar a conocer y monitorear un gran número de glaciares.

5. Resultados

5.1. Cuenca del río Salí-Dulce

La cuenca del río Salí-Dulce abarca una extensión de 17.112 km² y está formada por diversas subcuencas, de las cuales las de los ríos Vipos, Lules, Balderrama, Gastona y Medinas presentan geoformas periglaciales que fueron inventariadas.

Algunos de los cerros más importantes son C° del Bolsón (5.550 msnm), Nevado del Candado (5.489 msnm) y C° de las dos Lagunas (5.450 msnm).

En total se han inventariado 142 glaciares que ocupan una superficie de 12,45 km² (Figura 7 y Tabla 2), esto representa el 0,073 % de la cuenca del río Salí-Dulce cubierta por glaciares.

Tabla 2: Superficie total de glaciares inventariados en la cuenca del río Salí-Dulce.

Tipo de geoforma inventariada	Área (km ²)
Manchones de nieve/glaciaretos	0,025
Glaciar de escombros activo	5,84
Glaciar de escombros inactivo	6,58
Total	12,45

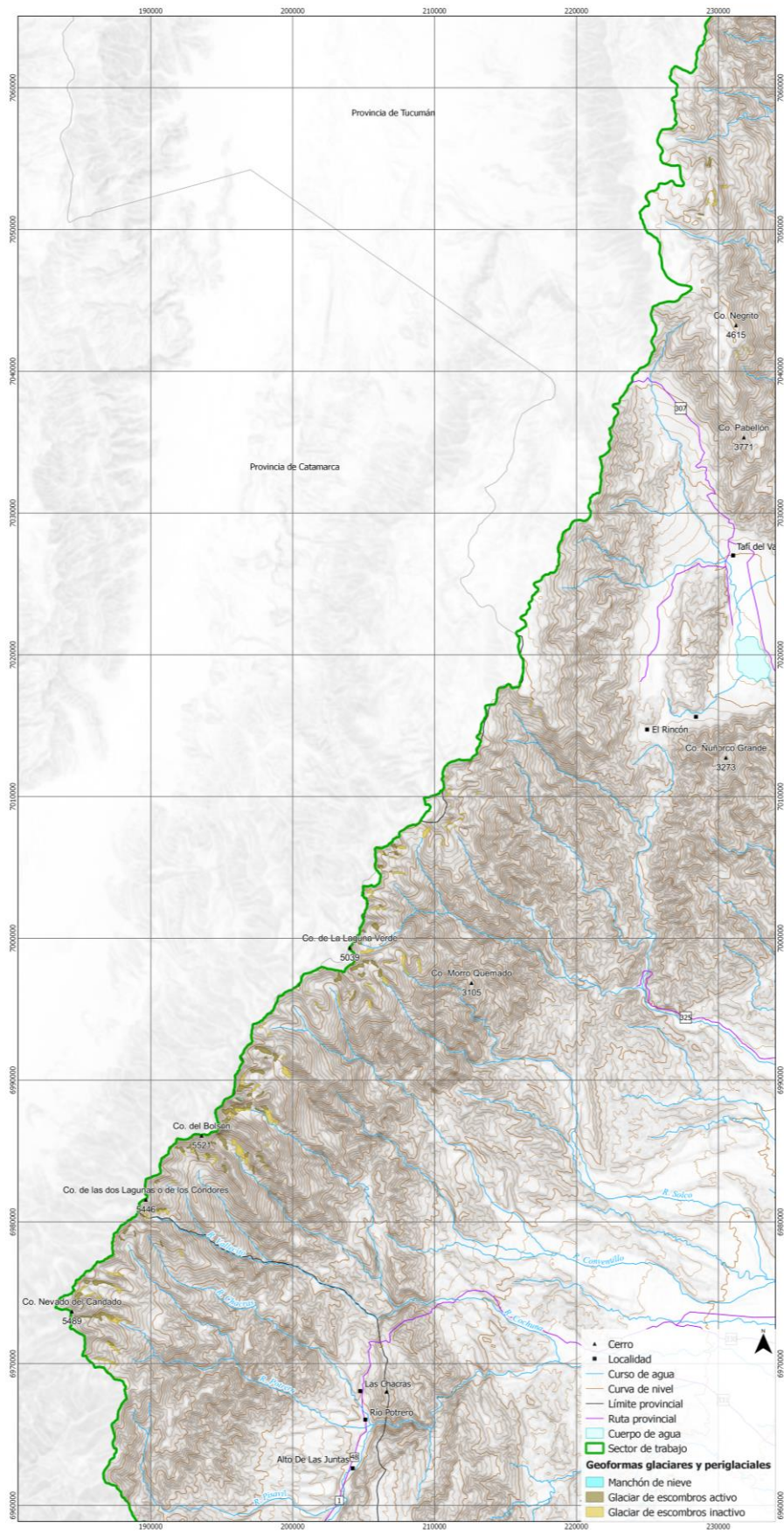


Figura 7: Mapa del inventario de la cuenca del río Salí-Dulce.

En la Figura 8 se observa que casi el 100% de las geoformas inventariadas corresponden a glaciares de escombros, el 47% activos y el 52% inactivos. Tan sólo se identificó un manchón de nieve perenne que ocupa una superficie de 0,025 km².

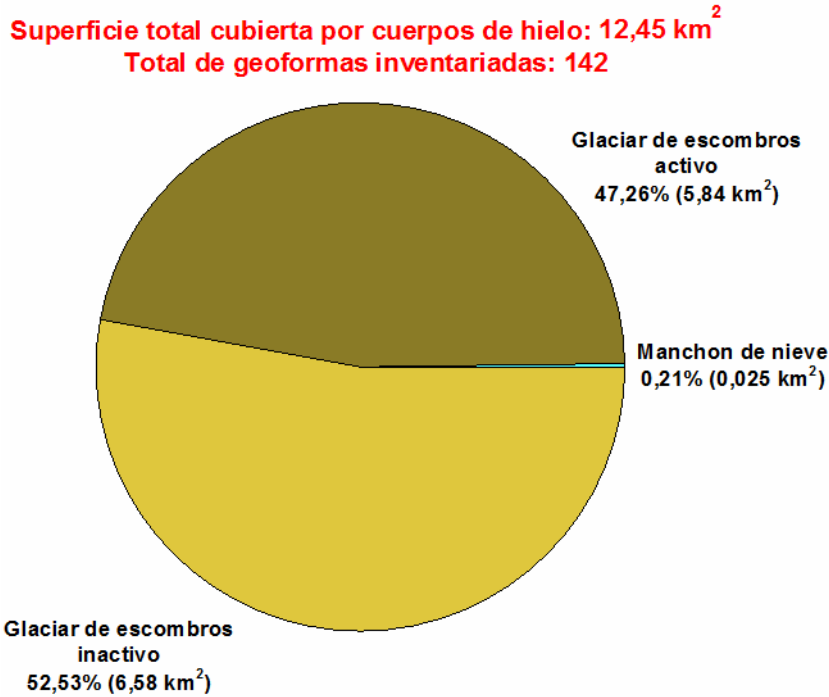


Figura 8: Distribución de los cuerpos de hielo inventariados, cuenca del río Salí-Dulce.

La orientación predominante de los glaciares en esta cuenca es fundamentalmente hacia el sureste fundamentalmente, el 45% de la superficie de glaciares está orientada en esta dirección. La siguiente orientación que predomina es hacia el sur, correspondiendo a un 17% de la superficie inventariada en esta dirección (Figura 9).

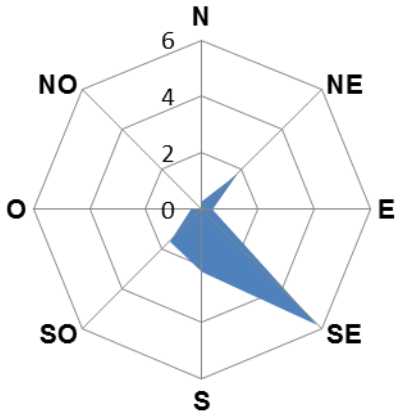


Figura 9: Orientación de los cuerpos de hielo inventariados en la cuenca del río Salí-Dulce.

En la Figura 10 vemos la distribución de los glaciares inventariados en esta cuenca con respecto a su área y número. Las clases de área predominantes están alrededor de los 0,02-0,04 km² y los 0,1-0,2 km². Los glaciares de mayor tamaño representan la mayor superficie inventariada para esta cuenca..

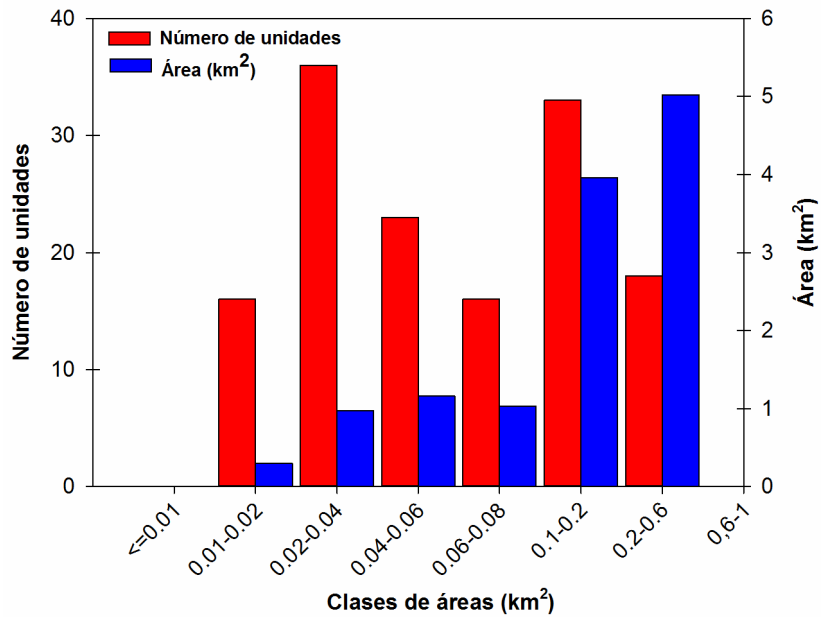


Figura 10: Número de unidades y superficie cubierta por los cuerpos de hielo inventariados en la cuenca del río Salí-Dulce.

Con respecto a su distribución altitudinal, según vemos en la Figura 11 y en la Tabla 3 el rango va desde los 4.040 hasta los 5.280 msnm. Los glaciares de escombros activos son los que alcanzan la mayor cota, seguidos del manchón de nieve. Los glaciares de escombros inactivos se distribuyen alrededor de los 4.055-5.059 msnm. En general, las mayores superficies se encuentran entre los 4.500 y 5.000 msnm.

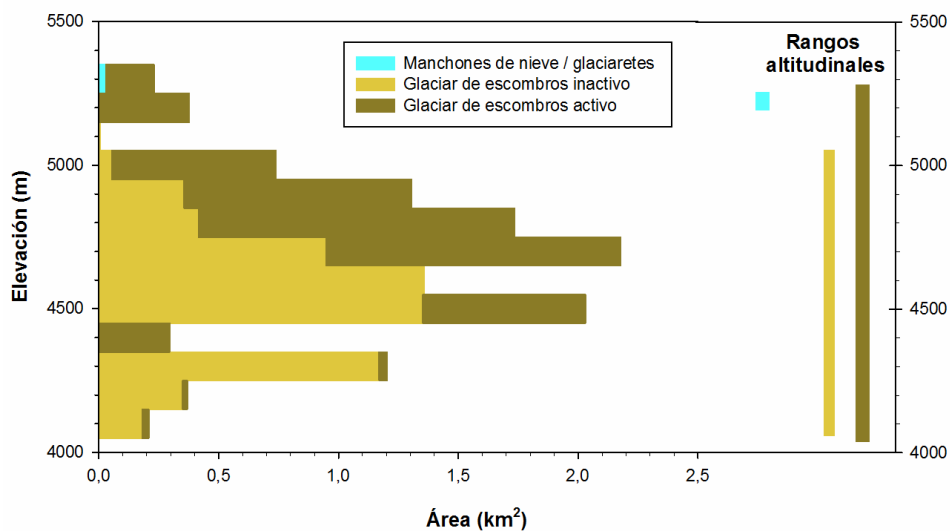


Figura 11: Hipsometría de los cuerpos de hielo, cuenca del río Salí-Dulce.

Tabla 3: Alturas por tipos de glaciares en la cuenca del río Salí-Dulce.

Tipo de glaciar	Altura mínima observada (msnm)	Altura máxima observada (msnm)
Manchones de nieve/glaciaretas	5.212	5.260
Glaciar de escombros activo	4.254	5.406
Glaciar de escombros inactivo	4.041	5.227

5.2. Control de campo

El control en el terreno, correspondiente a la cuenca del río Sali-Dulce, fue realizado entre el 26 de septiembre y el 8 de octubre de 2017. Durante la campaña se observaron las geoformas ubicadas en el sector tucumano de la Sierra del Aconquija.

Durante las tareas de control de campo se relevaron 18 geoformas de las 142 inventariadas. Hubo un 89% de coincidencias en la clasificación y un 100% en la identificación según lo mapeado previamente en gabinete. Para mayor detalle ver anexo 7.2. donde se describen las geoformas visitadas en el trabajo de campo.

6. Bibliografía

- Azócar, G.F. y Brenning, A. 2010. Hydrological and Geomorphological Significance of Rock Glaciers in the Dry Andes, Chile (27°- 33°S). *Permafrost and Periglacial Processes*, 21: p. 42 - 53.
- Ahumada, A. L., Ibañez Palacios, G. P., Páez S. V. 2005a. High mountain permafrost in the argentine subtropic. *Terra Nostra* 05/1:9. Berlin.
- Ahumada, A. L., Ibañez Palacios, G. y Páez, S. V. 2005b. Los glaciares de escombros en el NW argentino, acuíferos de altura en riesgo ante los cambios globales. Presentado en CONAGUA 2005. Mendoza. CD Versión.
- Ahumada, A. L. 2008. El conocimiento de la criósfera continental del NO de Argentina. Su comportamiento ante el calentamiento global. Academia Nacional de Ciencias de Buenos Aires.
- Ahumada, A. L., Ibañez Palacios, G. P., Páez S. V. 2008a. Reconocimiento de permafrost andino en las nacientes del Río Santa María, Catamarca. IV Congreso Iberoamericano de Ambiente y Calidad de vida, Catamarca.
- Ahumada, A. L., Páez, S.V., Ibañez Palacios, G. 2011. Los glaciares de escombros en la alta cuenca del Río Andalgalá, SE de la Sierra de Aconquija, Catamarca. XVIII Congreso Geológico Argentino, Mayo 2011, (Eds. Leanza, Franchini, Impiccini, Pettinari, Sigismondi, Pons y Tunik), Neuquén, Argentina, p: 1266-1267.
- Ahumada, A. L., Páez, S.V., Ibañez Palacios, G. 2013. Los glaciares de escombros en la Sierra de Aconquija. *Acta Gelológica Lilloana*, Vol. XXV(1-2) ,p:49-68.
- Arenson, L. y Jakob, M. 2010. The Significance of Rock Glaciers in the Dry Andes – A Discussion of Azócar and Brenning (2010) and Brenning and Azócar (2010). *Permafrost and Periglacial Processes*, 21: p. 286 - 288.
- Barsch, D. 1978. Active rock glaciers as indicators for discontinuous alpine permafrost. An example from the Swiss Alps. Third International Conference on Permafrost, Ottawa, Canada. Proceedings, 1: p. 349-353.
- Barsch, D. 1996. *Rockglaciers*. Springer, Berlin: 331 pp.
- Brenning, A. 2005. Geomorphological, hydrological and climatic significance of rock glaciers in the Andes of central Chile (33–35° S). *Permafr. Periglac. Process.* 16: p. 231–240.
- Brenning, A. y Azócar, G.F. 2010. Statistical analysis of topographic controls and multispectral signatures of rock glaciers in the dry Andes, Chile (27°- 33°S). *Permafrost and Periglacial Processes*, 21: 54 - 66.

Catalano, L. R. 1927. Datos hidrológicos del desierto de atacama. Boletín de la Dirección General de Minas, Geología e Hidrología. Publicación 35:1-35.

Cogley, J.G., Hock, R., Rasmussen, L.A., Arendt, A.A., Bauder, A., Braithwaite, R.J., Jansson, P., Kaser, G., Möller, M., Nicholson L. y Zemp, M. 2011. Glossary of Glacier Mass Balance and Related Terms, IHP-VII Technical Documents in Hydrology No. 86, IACS Contribution No. 2, UNESCO-IHP, Paris.

Corte, A. E., Tromboto, D. y Ahumada, A. L. 1982. Relevamiento de la geomorfología criogénica del NW Argentino. IANIGLA, CRICYT-CONICET, MENDOZA. Informe interno. 50 pp.

Corte, A. 1976. Rock glaciers. Biuletyn Peryglacjalny, 26: p. 175-197.

Corte, A. 1976. The hydrological significance of rock glaciers. Journal of Glaciology, 17: p.157-158.

Corte, A. y Espizúa, L.E. 1981. Inventario de glaciares de la cuenca del río Mendoza. IANIGLA-CONICET, Mendoza; 64 pp.

Delgado, S., Masiokas, M., Pitte, P. y Villalba R. 2010. Developing an Argentinean glacier inventory: first results from the Southern Patagonia Icefield submitted to GLIMS. International Ice and Climate Conference, Valdivia, Chile, CECS.

Espizúa, L.E. 1986. Fluctuations of the río del Plomo Glaciers. Geografiska Annaler, 68A (4): p. 317-327.

Espizúa, L.E. y Maldonado G. 2007. Glacier variations in the Central Andes (Mendoza province, Argentina) from 1896 to 2005. En: Environmental change and rational water use. Scarpati, O. and Jones, A. (Ed.), Orientación Gráfica Editora, Buenos Aires: p. 353-366.

Espizúa, L.E. y Pitte, P. 2009. The Little Ice Age advance in the Central Andes (35° S), Argentina. Palaeogeography, Palaeoclimatology, Palaeoecology 281 (3-4): p. 345-350.

Gruber, S. y Haeberli, W. 2009. Mountain Permafrost, in Permafrost Soils (ed) R. Margesin, Soil Biology 16. springer-Verlag Berlin: p. 33-44p.

Haeberli, W. 1985. Creep of mountain permafrost: internal structure and flow of alpine rock glaciers. Mitt. d. Versuchsanstalt f. Wasserbau, Hydrologie und Glaziologie, Vol. 77: p. 142.

IANIGLA. Inventario Nacional de Glaciares y Ambiente Periglacial: Fundamentos y Cronograma de Ejecución, (2010) Instituto Argentino de Nivología, Glaciología y Ciencias Ambientales (IANIGLA), Centro Científico Tecnológico – CONICET Mendoza.

Igarzábal, A. 1983. El sistema glaciolítico de la cuenca superior del Río Juramento, provincia de Salta. In VIII Congreso Geológico Argentino - Actas IV; 167-183.

Ikeda, A. y Matsuoka, N. 2002. Degradation of Talus-derived Rock Glaciers in the Upper Engadin, Swiss Alps. Permafrost Periglac. Process., 13: p. 145-161.

Ikeda, A. 2004. Rock glacier dynamics near the lower limit of mountain permafrost in the Swiss Alps.

Instituto Nacional de Agua, 2010. Informe técnico: Relevamiento de la disponibilidad de recursos hídricos superficiales de la cuenca Salar de Pipanaco, cuenca Abaucán, Colorado, Salado, Cuencas Faldeo Oriental del Ancasti. Mendoza.

Masiokas, M.H., Rivera, A., Espizúa, L.E., Villalba, R., Delgado, S. y Aravena, J.C. 2009. Glacier fluctuations in extratropical South America during the past 1000 years. *Palaeogeography, Palaeoclimatology, Palaeoecology* 281 (3-4): p. 242-268.

Minetti, J. L., Poblete, A.G, Longhi, F. 2005. Los mesoclimas del NOA. Capítulo 11. En (eds. J.L. Minetti) *El clima del NO Argentino*. Ediciones Magna p: 217 – 234.

Minetti, J.L. y Leiva, M. 2005.. Variabilidad y cambio climático en el Noroeste Argentino. Capítulo 12. En (eds. J.L. Minetti) *El clima del NO Argentino*. Ediciones Magna p: 235-256.

Müller, F. et al. 1977. Instructions for compilation and assemblage of data for a World Glacier Inventory. TTS/WGI, Department of Geography, ETH. Zurich.: p. 19.

Otto, J-Ch., Götz, J., Keuschnig, M., Hartmeyer I., Trombotto D. y Schrott, L. 2010. Geomorphological and geophysical investigation of a complex rock glacier system - Morenas Coloradas valley (Cordon del Plata, Mendoza, Argentina). *Geophysical Research Abstracts*, EGU2010-3625, Vol. 12.

Racoviteanu, A.E., Paul, F., Raup, B., Khalsa, S.J.S. y Armstrong, R. 2009. Challenges and recommendations in mapping of glacier parameters from space: results of the 2008 Global Land Ice Measurements from Space (GLIMS) workshop, Boulder, Colorado, USA. *Annals of Glaciology* 50 (53).

Schellenberger, A., Mailänder, R., Stingl, H., Veit, H. 1998. Investigations on Late Quaternary landscape and climate evolution in the Sierra de Cachi (Province of Salta, NW-Argentina). *Terra Nostra* 5: 144-145.

Schrott, L. 1996. Some geomorphological-hydrological aspects of rock glaciers in the Andes (San Juan, Argentina). *Zeitschrift für Geomorphologie NF Suppl.-Bd.*, 104: p. 161-173.

Stokes, C. R., Popovnin, V., Aleynikov, A., Gurney, S. D. y Shahgedanova, M. 2007. Recent glacier retreat in Caucasus Mountains, Russia, and associated increase in supraglacial debris cover and supra-proglacial lake development. *Annals of Glaciology*, 46: p. 95-213.

Trombotto, D. 1991. Untersuchungen zum periglazialen Formenschatz und zu periglazialen Sedimenten in der 'Lagunita del Plata', Mendoza, Argentinie. ("Investigaciones sobre geoformas y sedimentos periglaciales en la 'Lagunita del Plata', Mendoza, Argentina"). *Heidelberger Geographische Arbeiten*, Heft 90: 171 páginas, Heidelberg, Alemania (ver en www.geog.uni-heidelberg.de/hga).

Trombotto, D. 2003. Mapping of permafrost and the periglacial environments, Cordón del Plata, Argentina. Eighth International Conference on Permafrost, ICOP, Zürich, Suiza.

Tucker, C.J. et al. 2004. NASA's global orthorectified Landsat data set. *Photogrammetric Engineering & Remote Sensing* 70(3): p. 313-322.

UNESCO-IASH. 1970. Perennial ice and snow masses. A guide for compilation and assemblage of data for a world inventory. *Technical papers in hydrology* 1. UNESCO. France. 56 pp.

Van Everdingen, R. 2005. Multilanguage glossary of permafrost and related ground-ice terms. Boulder, Co: National Snow and Ice data center / World Data Center for Glaciology. 90 pp

WGMS. 1967. Fluctuations of glaciers 1959-1965, Vol. I. IAHS (ICSU)/UNEP/UNESCO. Paris. 52 pp.

WGMS, 2007. *Global Glacier Changes: Facts and Figures*, World Glacier Monitoring Services, United Nations Environmental Programme, Geneva.

Williams, R.S. y Ferrigno, J.G. (eds.) 1999. *Satellite Image Atlas of Glaciers of the World – South America*. USGS Professional Paper 1386-I.

BIBLIOGRAFÍA COMPLEMENTARIA

- Brenning, A. y Trombotto, D. 2006. "Logistic regression modelling of rock glacier and glacier distribution: Topographic and climatic controls in the semi-arid Andes". *Geomorphology*, Elsevier, Amsterdam, the Netherlands, 81: p. 141-154.
- Buk, E. 1983. Glaciares de Escombros y su Significación Hidrológica. *Acta Geocriogénica*, Mendoza, 1: p. 22-38.
- Buk, E. 2002. Hidrología de ambientes periglaciales Cuenca morenas Coloradas-Vallecitos, Cordón del Plata, Cordillera Fontal, Mendoza. En: IANIGLA, 30 años de Investigación básica y aplicada en ciencias Ambientales. Trombotto, D. y Villalba, R. (Ed.), Zeta Editores., Mendoza, Argentina: p.73-76.
- Castro, M. 2010. "Mapeo de criofomas y ambiente periglacial en la Cordillera del Tigre, Mendoza, Argentina. Seminario de la Tecnicatura Universitaria en Sistemas de Información Geográfica, Cartografía y Teledetección (Geografía, Universidad Nacional de Cuyo), Mendoza: 55 pp.
- Corte, A. 1953. Contribución a la morfología periglacial de la alta cordillera con especial mención del aspecto criopedológico. *Anales del Departamento de Investigaciones Científicas*, Tomo 1, (2): p.1-54.
- Corte, A. 1978. Rock glaciers as permafrost bodies with debris cover an active layer. A hydrological approach, Andes de Mendoza, Argentina. *Proceedings, Third International Conference on Permafrost*, 1: p. 263-269.
- Falaschi, D., Castro, M., Masiokas, M., Tadono, T., and Ahumada A. L., 2014. Rock glacier inventory of the Valles Calchaquíes region (~ 25°S), Salta, Argentina, derived from ALOS data. *Permafrost and Periglacial Processes*. Wiley & Sons.
- Lliboutry, L. 1999. *Glaciers of Chile and Argentina. Satellite image atlas of glaciers of the world. South America*. R.S. Williams y J.G. Ferrigno. Denver, USA, USGS. 1386-I.
- Trombotto, D., Buk, E. y Hernández, J. 1999. Rock glaciers in the Southern Central Andes (appr. 33 S.L.), Mendoza, Argentina: a review. *Bamberger Geographische, Schriften Selbstverlag des Faches Geographie an der Universität Bamberg, Alemania*, 19: p. 145-173.
- Trombotto, D. 2007. Profundización del tope de permafrost y tendencias en la dinámica criogénica, a partir de 1989, en el glaciar de escombros compuesto del valle de Morenas Coloradas, Mendoza, Argentina. *Boletín Geográfico*, Neuquén, Año XXIX, Nr. 30: p. 71-83.
- Trombotto, D. y Borzotta, E. 2009. Indicators of present global warming through changes in active layer-thickness, estimation of thermal difussivity and geomorphological observations in the Morenas Coloradas rock glacier, Central Andes of Mendoza, Dry Andes, Argentina. *Cold Regions Science and Technology*, Elsevier, The Netherlands, 55: p. 321-330.

Trombotto, D. y Alonso, V. 2010. Maqueta del mapa geomorfológico del entorno de la Laguna del Diamante (Andes Centrales, Argentina). XVIII Congreso Geológico Argentino, Neuquén 2011. Sesión Especial: Ciencias de la Criósfera.

Trombotto, D., Lenzano, M.G. y Castro, M. 2012. Inventory and monitoring of cryoforms and cryogenic processes in the Central Andes of Mendoza, Argentina: birth and extinction of a periglacial lake. Tenth International Conference on Permafrost, Proceedings, Salekhard, Russia, Vol 1: p. 419-424.

Zemp, M., Zumbühl, H.J., Nussbaumer, S.U., Masiokas, M.H., Espizúa, L.E. y Pitte, P. 2011. Extending glacier monitoring into the Little Ice Age and beyond. PAGES News, 19 (2): p. 67-69.

7. Anexos

7.1. Imágenes utilizadas en el inventario de la cuenca del río Salí-Dulce

Se presentan las tablas, ordenadas por tipo de satélite, con las imágenes utilizadas en el inventario de la cuenca del río Salí-Dulce.

Para las imágenes que se utilizaron como base del inventario, la selección final se realizó teniendo en cuenta aquéllas de fechas más recientes, que tuvieran poca cobertura de nieve estacional (meses de ablación desde febrero a abril para estas latitudes) y ausencia de nubes.

El resto de las imágenes se seleccionaron teniendo en cuenta diversos objetivos:

- Como base de georreferenciación, se emplearon en este caso imágenes del satélite Landsat.
- Para identificar manchones de nieve perenne se emplean imágenes de por lo menos dos años anteriores a la imagen utilizada como base para el inventario. Pueden ser de cualquier satélite, y también deben corresponder a fechas próximas al fin del verano para minimizar la existencia de la nieve estacional.
- Como ayuda para la interpretación y digitalización del hielo cubierto y glaciares de escombros, se suelen emplear imágenes de sensores de alta resolución.

Satélite: **LANDSAT 5**

Sensor: TM (Thematic Mapper)

Resolución espacial: 30 m

Proveedor: USGS <http://www.usgs.gov>

ID imagen	Fecha	Objetivo
LT52310782010304CUB00	31 octubre 2010	Base georreferenciación y comparar manchones de nieve
LT52310792010304CUB00	31 octubre 2010	Base georreferenciación y comparar manchones de nieve

Satélite: **SPOT5**

Sensor: **HRG2**

Resolución: J 10 y T 5 m

Imágenes gentileza de CONAE (Argentina)

Corresponden a mosaicos de imágenes tomadas en fechas diferentes.

ID imagen	Fecha	Objetivo
SPOT5_HRG2_2012-06-20_14-23-01_J_678_403	20 junio 2012	Base inventario
SPOT5_HRG2_2012-06-20_14-23-10_J_678_404	20 junio 2012	Base inventario
SPOT5_HRG2_2012-06-20_14-23-18_J_678_405	20 junio 2012	Base inventario
SPOT5_HRG2_2012-06-20_14-22-59_T_678_403	20 junio 2012	Apoyo para delimitación de glaciares de escombros
SPOT5_HRG2_2012-06-20_14-23-07_T_678_404	20 junio 2012	
SPOT5_HRG2_2012-06-20_14-23-16_T_678_405	20 junio 2012	

7.2. Control de campo en la cuenca del río Salí-Dulce

El trabajo de campo en la cuenca del río Salí-Dulce se realizó en el mes de Octubre de 2017 en el sector tucumano de la Sierra del Aconquija. El acceso se realizó desde la localidad de El Tesoro, en la vertiente catamarqueña de la sierra, ya que desde aquí se cuenta con el apoyo logístico de baqueanos y animales para la aproximación al sector elegido.

La aproximación se realizó utilizando como referencia el camino que atraviesa la Sierra del Aconquija que normalmente es utilizado por expediciones arqueológicas al sitio La Ciudadita, y que además se ubica dentro del Parque Nacional Campo de Los Alisos en la provincia de Tucumán.



Aproximación a la Sierra del Aconquija. Provincia de Tucumán, 2017 (Foto: M. Castro).

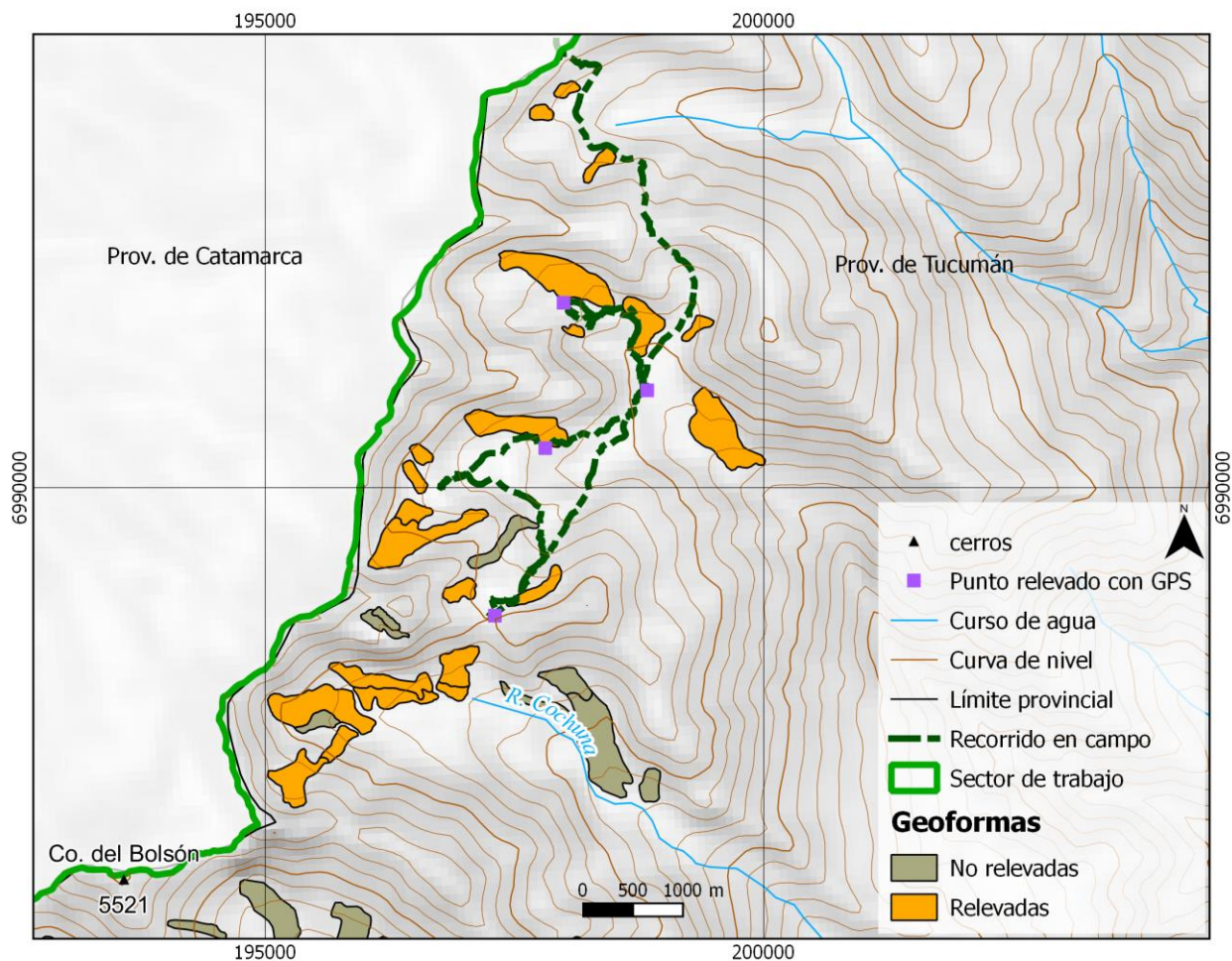
7.2.1 Objetivos

Los objetivos de la campaña fueron:

- ✓ Identificar en el campo las geformas inventariadas en gabinete en una primera etapa a partir de imágenes satelitales
- ✓ Observar detalles morfológicos de las geformas
- ✓ Verificar la clasificación de glaciares realizada
- ✓ Tomar fotografías de las diferentes geformas
- ✓ Tomar puntos de referencia y tracks con equipos GPS
- ✓ Tomar puntos y tracks con navegador GPS

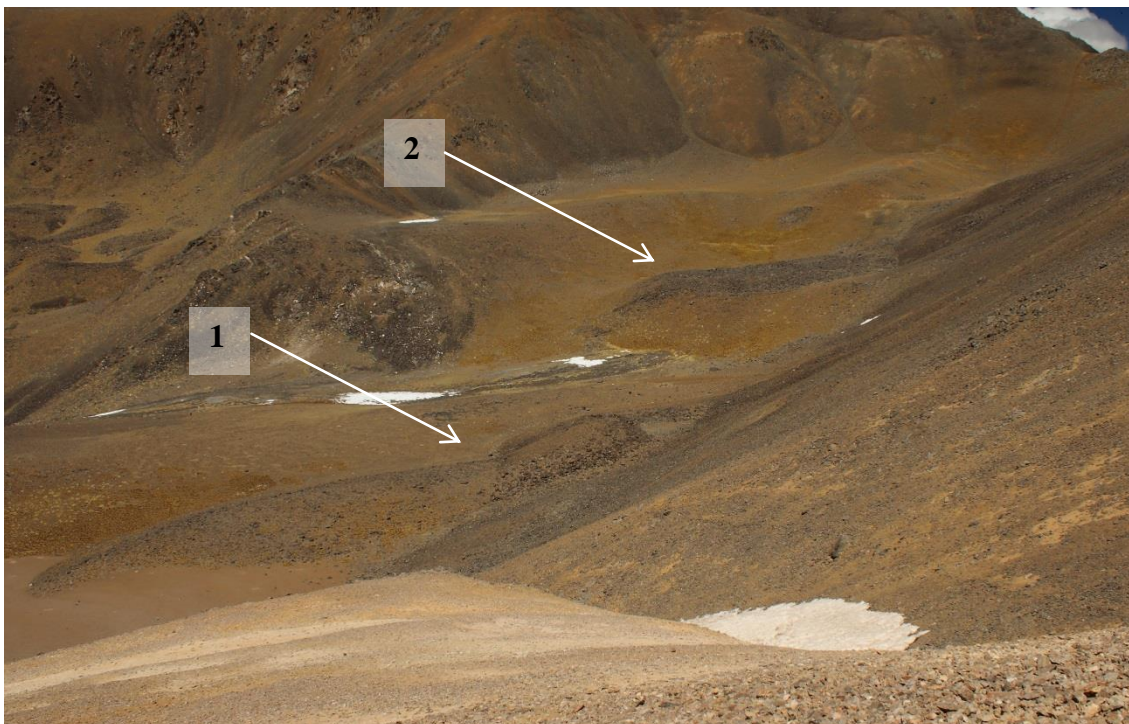
7.2.2. Resultados de las geformas relevadas en terreno

Sierra del Aconquija. Provincia de Tucumán



Geoformas G660467O271437S (1) y G660493O271457S (2)

Glaciares de escombros inactivos. Se observaron en ellos superficies colapsadas y cubiertas de vegetación corroborando su estado de inactividad. Se observan en la imagen los taludes frontales suavizados de las geoformas.



Geoforma G660435O271504S

Glaciar de escombros inactivo de origen criogénico. Se encuentra con vegetación dispersa en superficie y sus taludes con suaves pendientes.



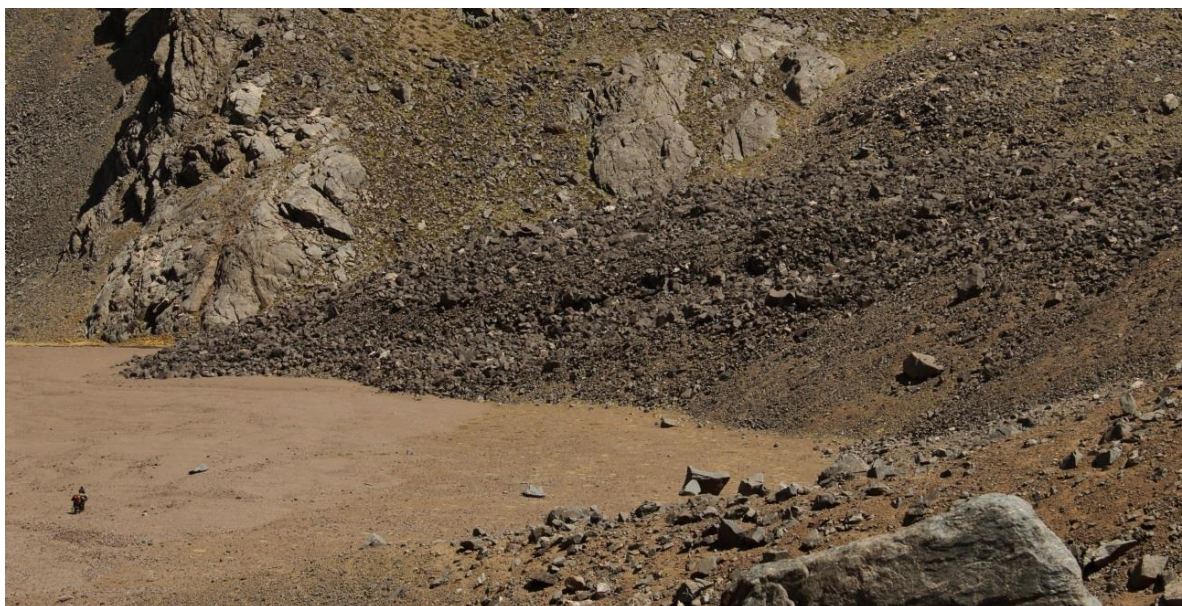
Geoforma G660340O271654S

Glaciar de escombros inactivo de origen criogénico. Se observaron en la geoforma taludes con una inclinación de 30°. En algunos sectores se detectó la presencia de vegetación.



Geoforma G660396O271650S

Glaciar de escombros activo de origen criogénico. Presenta un importante talud frontal de una inclinación de entre 35° y 40°. La superficie está cubierta por bloques de gran tamaño (4m) que se disponen en forma muy desordenada y caótica, con presencia de crestas y surcos.





Geoforma G660478O271606S

Glaciar de escombros activo. En la imagen se pueden observar las características de su superficie. Se observaron en el trabajo de campo surcos y crestas y en su frente se midieron taludes de una inclinación mayor a 35° .



Detalle de la superficie de la geoforma G660478O271606S

Geoforma G660464O271655S

Glaciar de escombros activo. Se pueden observar en su superficie bloques de gran tamaño y removidos.



Geoforma G660320O271750S

Si bien originalmente esta geoforma se encontraba clasificada como un glaciar de escombros activo, luego de la corroboración en campo se lo dividió en una geoforma con una parte activa y otra inactiva. En la imagen se puede apreciar el importante talud que marca el sector activo. En la parte más baja e inactiva se aprecia la cobertura de vegetación.



Partes activa e inactiva de la geoforma G660320O271750S

Geoforma G660525O271740S

Glaciar de escombros de origen criogénico. Se observaron en la crioforma taludes con una inclinación mayor a 35° y en su superficie una disposición de bloques muy inestable con presencia de surcos y crestas.



Talud frontal de la geoforma G660525O271740S

Geoforma G660630O271783S

Glaciar de escombros inactivo. En la imagen se puede apreciar un talud frontal y lateral suavizado (menor a 35°). Si bien en superficie se observa la presencia de bloques de gran tamaño en su superficie, en el terreno se observaron indicios de estabilidad.



Geoforma G660623O271763S

Ubicado en el mismo piso altitudinal que la geoforma anterior, este glaciar de escombros presenta taludes con una inclinación mayor a 35° y en superficie se observan crestas y surcos con presencia de bloques de gran tamaño.



Geoforma G660631O271834S

Geoforma compuesta por dos sectores, en la parte superior se encuentra el sector activo en donde se observa un importante talud con una inclinación de 40° ; en la parte más baja e inactiva los taludes frontales se encontraron suavizados con presencia de vegetación dispersa.



Partes activa e inactiva de la geoforma

Geoforma G660507O271887S

Glaciar de escombros activo y de origen criogénico. Este glaciar de escombros posee un espesor en su talud frontal de aproximadamente 100 m y una inclinación de entre 35 y 40°. Sobre su superficie se identificaron bloques de gran tamaño dispuestos de forma caótica.



Talud frontal de la geoforma G660507O271887S

Geoforma G660586O271887S

Glaciar de escombros activo. En su superficie se observaron crestas y surcos con indicios de movimiento. Se encuentra emplazado en un pequeño circo donde se observan las canaletas de avalanchas desde donde se alimenta la geoforma.



Vista frontal de la geoforma G660586O271887S

Geoforma G660592O271961S

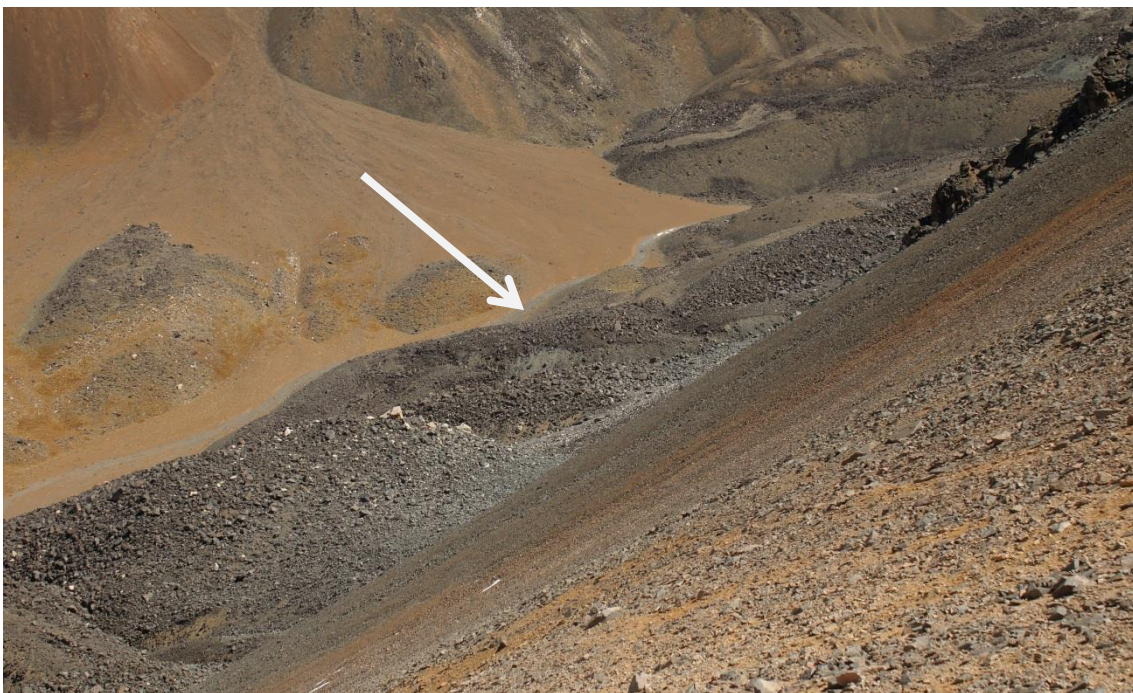
Geoforma compuesta por un sector activo y otro inactivo. En su superficie se pudieron identificar surcos y crestas. Presenta taludes con gran inclinación.



Vista desde arriba de la geoforma G660592O271961S

Geoforma G660664O271973S

Glaciar de escombros compuesto por un sector activo y otro inactivo. Se observa en su sector activo taludes de gran inclinación, crestas y surcos en superficie y bloques de gran tamaño.



Vista de arriba de la geoforma

Geoforma G660732O271990S

Glaciar de escombros de origen criogénico con un sector activo y otro inactivo. Estaba clasificado originalmente como un glaciar de escombros activo en su totalidad. A partir del trabajo realizado en el campo se pudo observar que el sector más bajo de la geoforma presenta características inactivas, por lo que fue dividida la geoforma. Se observa en la imagen el talud suavizado de la parte inactiva.



Geoforma G660745O272044S

Glaciar de escombros criogénico con un sector activo y otro inactivo. En su sector activo, el más alto, se observó un gran talud con una importante inclinación, además su superficie presenta bloques de gran tamaño y surcos y crestas en superficie. Esta parte de la geoforma se encuentra en un circo en donde se observan una gran cantidad de canaletas de avalanchas de nieve y detrito. Por debajo de la parte activa se observa una pequeña lengua con características inactivas.



Geoforma G660745O272044S con un sector activo y otro inactivo

7.3. Descripción de la base de datos

La base de datos del inventario se compone de 38 campos que se detallan a continuación:

1. **Provincia**
2. **Cuenca**
3. **Subcuenca**
4. **Código cuenca**

Esta columna provee información sobre la provincia, cuenca y subcuencas de cada una de las geoformas inventariadas. Un ejemplo de la codificación se muestra a continuación:

M0550000

El primer dígito corresponde a la provincia, codificada según normativa ISO 3166 (Ejemplo: M = Mendoza, U = Chubut).

Los siguientes tres dígitos corresponden al código de la cuenca principal, el cual ha sido establecido por la Subsecretaría de Recursos Hídricos de la Nación (SSRH). (Ejemplo 055 = Mendoza, 100 = Cuencas varias de Antártida e islas del Atlántico Sur, incluidas Islas Malvinas).

Los próximos dos dígitos corresponden a la subcuenca en la que se ha realizado el inventario. Por el momento no existe una codificación oficial establecida para esta categoría, por lo que la misma puede ser establecida por cada grupo de trabajo siempre y cuando se documente y aclare en forma inequívoca los criterios empleados y la ubicación de la subcuenca dentro de la cuenca principal.

Los dos últimos dígitos corresponden al nivel de sub-subcuenca, se empleará en aquellos inventarios que trabajen a este nivel y se procederá a codificarlos siguiendo los mismos criterios establecidos para las subcuencas.

5. **ID_local:** código único identificador de cada glaciar que incluye las coordenadas geográficas de un punto ubicado en el interior de cada geoforma. En el ID_local, dichas coordenadas están expresadas en grados decimales de longitud y latitud con cuatro decimales. Por ejemplo, el ID_local “G699921O328801S” corresponde a un glaciar ubicado a 69.9921° de longitud Oeste y 32.8801° de latitud Sur.
6. **Tipo_geoforma:** esta columna agrupa a cada una de las geoformas inventariadas en base a su tipo principal. Los tipos de geoforma pueden ser:

GD-Glaciario descubierto: cuerpo de hielo permanente generado sobre la superficie terrestre a partir de la compactación y recristalización de la nieve y/o hielo, sin cobertura detrítica significativa, que sea visible por períodos de al menos 2 años, con evidencias de movimiento

por gravedad (grietas, ojivas, morenas medias), y de un área mayor o igual a 0,01 km² (una hectárea).

MN-Manchón de nieve/glaciarete: pequeñas masas de nieve y hielo de forma indefinida. Se localizan generalmente en depresiones, lechos de ríos y pendientes protegidas. En general se desarrollan a partir de la nieve barrida por el viento, avalanchas y/o varios años de fuertes acumulaciones. En general no presentan patrones de flujo visibles, y existen al menos por dos años consecutivos. Los manchones de nieve permanentes/glaciaretes son reservas significativas de agua en estado sólido y por ello fueron incluidos en el inventario.

GC-Glaciario cubierto: cuerpo de hielo permanente generado sobre la superficie terrestre a partir de la compactación y recristalización de la nieve y/o hielo, con una cobertura detrítica significativa, que sea visible por períodos de al menos 2 años, con evidencias de movimiento por gravedad (grietas, ojivas, morenas medias), y de un área mayor o igual a 0,01 km² (una hectárea).

GE-Glaciario de escombros: cuerpo de detrito congelado y hielo, con evidencias de movimiento por acción de la gravedad y deformación plástica del permafrost, cuyo origen está relacionado con los procesos criogénicos asociados con suelo permanentemente congelado y con hielo subterráneo o con el hielo proveniente de glaciares descubiertos y cubiertos, y de un área mayor o igual que 0,01 km² (una hectárea). Los glaciares de escombros dependen fuertemente del aporte de detritos, nieve y hielo.

Los glaciares de escombros se pueden clasificar por su grado de actividad en **activos (GEA)**, **inactivos (GEI)** y **fósiles (GEF)** (Haeberli 1985; Ikeda 2004). Los glaciares de escombros activos presentan frentes abruptos (>35°) con lineamientos de flujo, crestas y surcos longitudinales y transversales bien definidos. Una vez que dejan de moverse se llaman inactivos y aparecen como geoformas colapsadas con menor pendiente en el frente (<35°), también puede aparecer cierta cobertura vegetal. El cuerpo de sedimentos que permanece una vez que el hielo se ha derretido se llama glaciario de escombros fósil (Barsch 1978; Trombotto 2002; Brenning 2005). Esta última categoría no ha sido incluida en el inventario por no tener importancia hidrológica.

GCGE-Glaciario cubierto con glaciario de escombros: en los Andes Centrales existen numerosos casos en los que un sector de hielo cubierto por detritos se transforma gradualmente en un glaciario de escombros. En general es muy difícil identificar y determinar la posición del límite entre el hielo cubierto (ambiente glaciario) y el glaciario de escombros glaciogénico (ambiente periglacial) a partir de sensores remotos, en particular si no se cuenta con información adicional proveniente de estudios detallados de campo. Por ello, en las tareas

de inventario se ha utilizado una categoría nueva denominada glaciar cubierto con glaciar de escombros que incluye las porciones de hielo cubierto junto con el glaciar de escombros que se desarrolla a sus costados o en su porción terminal.

7. **ID_GLIMS:** es el código de identificación del glaciar que sigue las normas internacionales propuestas por GLIMS, el nombre del glaciar está dado por las coordenadas geográficas de un punto dibujado en su interior. En este código la longitud está referida al Este.

8. **Nombre común:** si lo hubiere.

9. **Clasificación Primaria:** basada en el documento “Illustrated GLIMS Glacier Classification Manual” (Rau et al. 2005), preparado por el grupo de expertos de GLIMS http://www.glims.org/MapsAndDocs/assets/GLIMS_Glacier-Classification-Manual_V1_2005-02-10.pdf

0. Incierto

1. Sábana de hielo continental: es una gran masa de hielo que cubre un continente o gran parte del mismo. En la actualidad sólo existen las de Antártida y Groenlandia. Las sábanas de hielo no están totalmente controladas por la topografía subglacial y se caracterizan por ser más activas en sus bordes y a lo largo de las corrientes de hielo. Las partes más altas y abombadas llamadas domos tienen escasa pendiente y flujo de hielo muy limitado.

2. Campo de hielo: masa de hielo glaciar, confinada topográficamente, de superficie relativamente plana, y de la cual fluyen glaciares de descarga, y cuya superficie es menor a 50.000 km².

3. Calota de hielo: masa de hielo no confinada con forma de domo, que fluye en todas las direcciones.

4. Glaciar de descarga: glaciar que fluye desde el interior de un campo de hielo, calota de hielo y/o sábana de hielo, transfiriendo masa hacia las zonas más bajas.

5. Glaciar de valle: glaciar con el área de acumulación bien definida, cuya lengua está encauzada y fluye valle abajo.

6. Glaciar de montaña: un glaciar que se encuentra confinado por la topografía del terreno montañoso que lo rodea; frecuentemente localizado en un circo o nicho (Müller et al., 1977). Incluye glaciares de circo, de nicho y de cráter.

7. Manchón de nieve permanente o glaciarete: pequeñas masas de nieve y hielo de forma indefinida. Se localizan generalmente en depresiones, lechos de ríos y

pendientes protegidas. En general se desarrollan a partir de la nieve barrida por el viento, avalanchas y/o varios años de fuertes acumulaciones. En general no presentan patrones de flujo visibles, y existen al menos por dos años consecutivos.

8. Barrera de hielo: es la porción flotante de una sábana de hielo, de considerable espesor, que fluye por gravedad sin fricción sobre el mar, y de cuyo frente se desprenden los témpanos tabulares. Se nutre de glaciares, corrientes de hielo, acumulación de la nieve en superficie y por congelación basal. Usualmente tiene gran extensión horizontal y una superficie plana o suavemente ondulada. Las principales barreras de hielo se encuentran en la Antártida (Ross, Ronne- Filchner, Amery, Larsen, etc.).
9. Glaciar de escombros: el glaciar de escombros es una mesoforma criogénica de permafrost de montaña, sobresaturada en hielo que de ser activa, se mueve pendiente abajo por gravedad y por reptación y deformación del permafrost. Es una manifestación de un tipo de permafrost reptante. En general tiene forma de lengua o lóbulo con morfología superficial similar a la de una colada de lava. Sin embargo, sobre todo en los Andes Centrales de Argentina y Chile, los glaciares de escombros pueden alcanzar morfologías muy complejas, con zonas de aporte o de generación de cuencas compuestas y el desarrollo de más de un lóbulo frontal o una superposición de varios lóbulos.
10. Corriente de hielo: banda angosta de hielo que fluye dentro de una sábana de hielo a una velocidad muy superior al hielo circundante. Existen dos tipos principales de corrientes de hielo, las confinadas y no confinadas. Las corrientes de hielo no están bien delimitadas en todas sus márgenes, que en algunas zonas son más visibles por la presencia de grietas laterales que separan las zonas de flujo muy rápido de aquellas menos activas. Las corrientes de hielo drenan la mayor parte de las sábanas de hielo, siendo las principales abastecedoras de las barreras de hielo en Antártida.

10. Forma:

0. Incierto
1. Cuencas compuestas
2. Cuenca compuesta
3. Cuenca simple
4. Circo
5. Nicho

6. Cráter
7. Colgante
8. Grupo
9. Remanente

11. Frente:

0. Normal
1. Piedemonte
2. Expandido
3. Lobulado
4. De desprendimiento
5. Coalescente no contribuyente
10. De desprendimiento y piedemonte
11. De desprendimiento y expandido
12. De desprendimiento y lobulado
13. Tributario de barrera de hielo
14. Flotante
15. De desprendimiento terrestre
16. Confluente

12. Perfil longitudinal

0. Incierto
1. Regular o uniforme
2. Colgante
3. En cascada
4. Cascada de hielo
5. Interrumpido o reconstituido

13. Fuente de alimentación

0. Desconocida
1. Nieve-nieve volada
2. Avalancha
3. Hielo sobrepuesto

14. Actividad de la Lengua

0. Incierto
1. Marcado retroceso
2. Leve retroceso

3. Estacionario
4. Leve avance
5. Marcado avance
6. Posible pulso (surge)
7. Pulso (surge) conocido
8. Oscilante
9. Adelgazante

15. Morena_1

0. Sin morena
1. Morena Terminal
2. Lateral y/o media
3. Morena de empuje
4. Combinación de 1 y 2
5. Combinación de 1 y 3
6. Combinación de 2 y 3
7. Combinación de 1 , 2 y 3
8. Cubierto, incierto si es morénico
9. Morenas de tipo incierto o que no figura

16. Morena_2

0. Sin morena
1. Morena Terminal
2. Lateral y/o media
3. Morena de empuje
4. Combinación de 1 y 2
5. Combinación de 1 y 3
6. Combinación de 2 y 3
7. Combinación de 1 , 2 y 3
8. Cubierto, incierto si es morénico
9. Morenas de tipo incierto o que no figura

17. Cobertura de la lengua

0. Incierto
1. Sin detrito
2. Parcialmente cubierto de detrito (10-50%)
3. Mayormente cubierto de detrito (50-90%)

4. Completamente cubierto por detrito (>90%)
5. Parcialmente cubierto de detrito con glaciar de escombros (GE) (10-50%)
6. Mayormente cubierto de detrito con GE (50-90%)
7. Completamente cubierto por detrito con GE (>90%)

18. Origen GE

0. Incierto
1. Criogénico: aquellos glaciares de escombros sin relación actual con los glaciares y generados a partir de taludes y canaletas nivo-detriticas.
2. Glacigénico: aquellos glaciares de escombros originados a partir de un glaciar descubierto o cubierto.
3. Combinado 1 y 2

19. Actividad del GE

0. Incierto
1. Activo: presenta evidencias de movimiento pendiente abajo y señales del mismo en superficie. En general este tipo de glaciares tiene una topografía superficial muy irregular y desarrollan pendientes frontales muy pronunciadas (35°-45°).
2. Inactivo: no presentan movimiento pendiente abajo, pero que todavía contienen hielo.

20. Forma del GE

0. Incierto
1. Lengua: largo del glaciar mayor que el ancho
2. Lobado: ancho del glaciar mayor que el largo
3. Espatulado
4. Coalescente
5. Otras

21. Estructura _I

0. Incierto
1. Unidad: formado por un único glaciar de escombros.
2. Multiunidad: formado por varios glaciares de escombros, pueden ser coalescentes o sobrepuestos.

22. Estructura II

0. Incierto
1. Una raíz: una única fuente de alimentación.
2. Multiraiz: un glaciar de escombros que se alimenta de varias fuentes de

alimentación o raíces, sea cual fuere su origen.

23. **Longitud:** coordenadas geográficas de cada polígono (obtenida a partir de un centroide ubicado en el interior del mismo).
24. **Latitud:** coordenadas geográficas de cada polígono (obtenida a partir de un centroide ubicado en el interior del mismo).
25. **Área:** área de cada polígono expresada en km².
26. **Largo_total:** largo de cada unidad, considerando la línea de flujo más larga de todo el glaciar, desde la zona más alta, atravesando la unidad hasta el frente de la misma, siempre lo más perpendicular posible a las curvas de nivel. Se expresa en metros (m).
27. **H_max_total:** Altura máxima total de la unidad. Se expresa en metros sobre el nivel del mar (msnm).
28. **H_med_total:** Altura media total de la unidad. Se expresa en metros sobre el nivel del mar (msnm).
29. **H_min_total:** Altura mínima total de la unidad. Se expresa en metros sobre el nivel del mar (msnm).
30. **Pendiente:** (Se expresa en grados).
31. **Orientación:** Correspondiente a los 8 puntos cardinales.
32. **H_max_parcial:** Altura máxima de los polígonos que conforman cada unidad (si los hubiere). Se expresa en metros sobre el nivel del mar (msnm).
33. **H_med_parcial:** Altura media de los polígonos que conforman cada unidad (si los hubiere). Se expresa en metros sobre el nivel del mar (msnm).
34. **H_min_parcial:** Altura mínima de los polígonos que conforman cada unidad (si los hubiere). Se expresa en metros sobre el nivel del mar (msnm).
35. **Img_ba_F:** Fecha de la imagen de base a partir de la cual se realizó el inventario.
36. **Img_ba_S:** tipo de sensor que capta la imagen empleada para el inventario (AVNIR, PRISM, CBERS, etc.).
37. **Img_ap_F:** Fecha de la imagen de apoyo utilizada.
38. **Img_ap_S:** tipo de sensor que capta la imagen de apoyo empleada



**Ministerio de Ambiente
y Desarrollo Sustentable
Presidencia de la Nación**

IANIGLA



CONICET

U. N. CUYO
GOBIERNO
DE MENDOZA

El 28 de Octubre de 2010 fue promulgada la Ley 26.639 de “Presupuestos Mínimos para la Preservación de los Glaciares y del Ambiente Periglacial”. Esta ley contempla, entre otras medidas, la creación de un Inventario Nacional de Glaciares. Este inventario es fundamental para un estudio de largo plazo de los cuerpos de hielo de Argentina, su dinámica, hidrología y relación con el ambiente, definiendo metodologías de mapeo y monitoreo sistemáticos aplicables a las diferentes regiones y condiciones ambientales de nuestro país.

A partir del trabajo realizado por el Instituto Argentino de Nivología, Glaciología y Ciencias Ambientales (IANIGLA), con la coordinación del Ministerio de Ambiente y Desarrollo Sustentable de la Nación, se han inventariado 16.078 glaciares y geoformas periglaciares en la cordillera de Los Andes y 890 en las Islas del Atlántico Sur, los cuales ocupan una superficie de 5.769 y 2.715 km² respectivamente. El Inventario Nacional de Glaciares describe por primera vez, en un instrumento sistematizado, todos los glaciares y geoformas periglaciares que actúan como reservas hídricas existentes en el territorio nacional, con toda la información necesaria para su adecuada protección, control y monitoreo.

El presente informe describe los resultados del Inventario Nacional de Glaciares de las subcuencas de los ríos Vipos, Lules, Balderrama, Gastona y Medinas, cuenca del río Salí-Dulce, provincias de Tucumán, Catamarca y Salta.





República Argentina - Poder Ejecutivo Nacional
2018 - Año del Centenario de la Reforma Universitaria

Hoja Adicional de Firmas
Informe gráfico

Número:

Referencia: ING río Sali Dulce

El documento fue importado por el sistema GEDO con un total de 55 pagina/s.